

# **Криптографические алгоритмы и ИТ платформы «ECLECTIC-DT»**

**THE THEORY OF PLAFALES:  
Криптографический комплекс «ECLECTIC-DT-1»**

Дмитрий Топчий (Dmytro Topchyi)

2014

## СОДЕРЖАНИЕ

	Стр.
<b>СТРУКТУРНАЯ ЧАСТЬ .....</b>	<b>2</b>
<b>ГЛАВА 1 «ECLECTIC-DT-1»</b>	<b>3</b>
1.1 Введение и терминология.....	3
1.2 Математические основы алгоритма .....	7
1.2.1 Байт .....	7
1.2.2 Блок .....	8
1.2.3 The static canvas of plafal (статический ковер плафала) .....	9
1.2.4 Матрица состояний.....	11
1.2.5 Форма .....	13
1.2.6 Логическая взаимосвязь формы, матрицы состояний и блока.....	15
1.2.7 Операция SubBytes .....	16
1.2.8 Операция PerBits .....	17
1.2.9 Операция ShiftBytes .....	30
1.2.10 Операция PerBytes.....	31
1.2.11 InvSubBytes.....	36
1.2.12 InvPerBits .....	37
1.2.13 InvShiftBytes.....	38
1.2.14 InvPerBytes .....	39
1.3 Алгоритм выработки ключей (Key Schedule).....	41
1.4 Имитовставка .....	42
1.5 Механизм распределения ключей.....	43
<b>ЛИТЕРАТУРА .....</b>	<b>47</b>

## СТРУКТУРНАЯ ЧАСТЬ

Согласно принципа Кирхгофа: секретность шифра обеспечивается секретностью ключа, а не секретностью алгоритма шифрования. Противник имеет всю информацию о применяемом криptoалгоритме, ему неизвестен только реально использованный ключ [1].

Криптографические (математические) алгоритмы серии «ECLECTIC-DT» основываются на работе «The theory of plafales: the proof algorithms for millennium problems» [2, 3, 4], а также на материал XLII конференции по прикладной математике (Польская Академия Наук) [5, 6].

Предлагаемые к рассмотрению и внедрению криптографические (математические) алгоритмы серии «ECLECTIC-DT», а также IT платформы которые могут быть созданы на базе указанной серии, преследуют решения следующих задач: **1.** Криптографический комплекс «ECLECTIC-DT-1»: система «Friend-Foe»; **2.** Ввод стандарта шифрования данных – «ECLECTIC-DT-2»; **3.** Ввод нового стандарта «ECLECTIC-DT-3», определяющего алгоритм и процедуру вычисления хеш-функции; **4.** Комплекс «ECLECTIC-DT-4»: построение генераторов псевдослучайных чисел; **5.** IT платформа (комплекс) «ECLECTIC-DT-5»: реализация равенства классов сложности  $P=NP$  (разрушение криптосистем с открытым ключом); **6.** Создание платформы «ECLECTIC-DT-6»: конструирование базисных функций в автоматическом режиме в методе конечных элементов (МКЭ).

Представленные алгоритмы серии «ECLECTIC-DT» несут теоретический характер. Для дальнейшей реализации в программно-аппаратном комплексе необходимы следующие шаги: **1.** Создание софта под отдельно взятый алгоритм (в индивидуальном порядке); **2.** Проведение криптоанализа; **3.** Пусконаладка и шеф-монтаж (инсталлирование).

---

## ГЛАВА 1

---

### «ECLECTIC-DT-1»

#### 1.1 Введение и терминология

«ECLECTIC-DT-1» представляет собой алгоритм итерационного блочного симметричного шифрования 128-битных блоков данных ключом 256 бит. Количество раундов – 14.

**Байт** – последовательность из 8 битов. В контексте данного алгоритма байт рассматривается как plafal (плафал) – PF.

**Блок** – последовательность из 16 байтов, над которой оперирует алгоритм. В контексте данного алгоритма блок рассматривается как „docking“ of plafales (процедурастыковки плафалов) –  $\text{PF}_{S^{16}}^{\text{doc}}$ .

**Матрица состояний** – комплекс из 16 байтов, отображающий состояние блока и формы перед, в ходе, и после выполнения всех раундовых процедур.

**Форма** – последовательность из 16 байтов, которая рассматривается как plafal (плафал) –  $\text{PF}_{ad}^{\text{uniq}}$ .

**Ключ** – последовательность из 32 байтов, используемая в качестве ключа шифрования.

**Раунд** – итерация цикла преобразований над матрицей состояний. Количество раундов – 14.

**Ключ раунда** – ключ, применяемый в раунде. Вычисляется для каждого раунда.

*Для зашифрования в алгоритме «ECLECTIC-DT-1» применяются следующие процедуры преобразования данных:*

**SubBytes** – подстановка байтов в матрице состояний с помощью таблицы подстановок.

**PerBits** – перестановка бит в байте. В контексте данного алгоритма рассматривается как поворот против часовой стрелки absolutely dynamic plafal (абсолютно динамического плафала) –  $\text{PF}_{ad}^{\text{uniq}}$  вокруг центра симметрии на угол  $\varphi = \frac{360^\circ \cdot n}{8} = 45^\circ \cdot n$ ,  $n$  – количество поворотов.

**ShiftBytes** – циклический сдвиг байт в матрице состояний на различные ве-

величины. В контексте данного алгоритма рассматривается как параллельный перенос  $\text{PF}_i$  на  $\text{PF}_j$ ;  $i \neq j$  комплекса  $\text{PF}_{S^{16}}^{doc}$ .

**PerBytes** – перестановка байт в матрице состояний. В контексте данного алгоритма рассматривается как поворот против часовой стрелки *absolutely dynamic plafal* (абсолютно динамического плафала) –  $\text{PF}_{ad}^{uniq}$  вокруг центра симметрии на угол  $\varphi = \frac{360^\circ \cdot n}{16} = 22.5^\circ \cdot n$ ,  $n$  – количество поворотов.

Последовательность выполнения процедур с 1-13 раунды:

$\text{SubBytes} \rightarrow \text{PerBits} \rightarrow \text{ShiftBytes} \rightarrow \text{PerBytes}$

Последовательность выполнения процедур в 14 раунде:

$\text{SubBytes} \rightarrow \text{PerBits} \rightarrow \text{ShiftBytes}$

Для расшифрования в алгоритме «*ECLECTIC-DT-1*» применяются следующие процедуры преобразования данных:

**InvSubBytes** – подстановка байтов в матрице состояний с помощью обратной таблицы подстановок.

**InvPerBytes** – перестановка бит в байте. В контексте данного алгоритма рассматривается как поворот вокруг часовой стрелки *absolutely dynamic plafal* (абсолютно динамического плафала) –  $\text{PF}_{ad}^{uniq}$  вокруг центра симметрии на угол  $\varphi = \frac{360^\circ \cdot n}{8} = 45^\circ \cdot n$ ,  $n$  – количество поворотов.

**InvShiftBytes** – циклический сдвиг байт в матрице состояний на различные величины. В контексте данного алгоритма рассматривается как параллельный перенос  $\text{PF}_j$  на  $\text{PF}_i$ ;  $j \neq i$  комплекса  $\text{PF}_{S^{16}}^{doc}$ .

**InvPerBytes** – перестановка байт в матрице состояний. В контексте данного алгоритма рассматривается как поворот вокруг часовой стрелки *absolutely dynamic plafal* (абсолютно динамического плафала) –  $\text{PF}_{ad}^{uniq}$  вокруг центра симметрии на угол  $\varphi = \frac{360^\circ \cdot n}{16} = 22.5^\circ \cdot n$ ,  $n$  – количество поворотов.

Последовательность выполнения процедур в 1 раунде:

$\text{InvShiftBytes} \rightarrow \text{InvPerBytes} \rightarrow \text{InvSubBytes}$

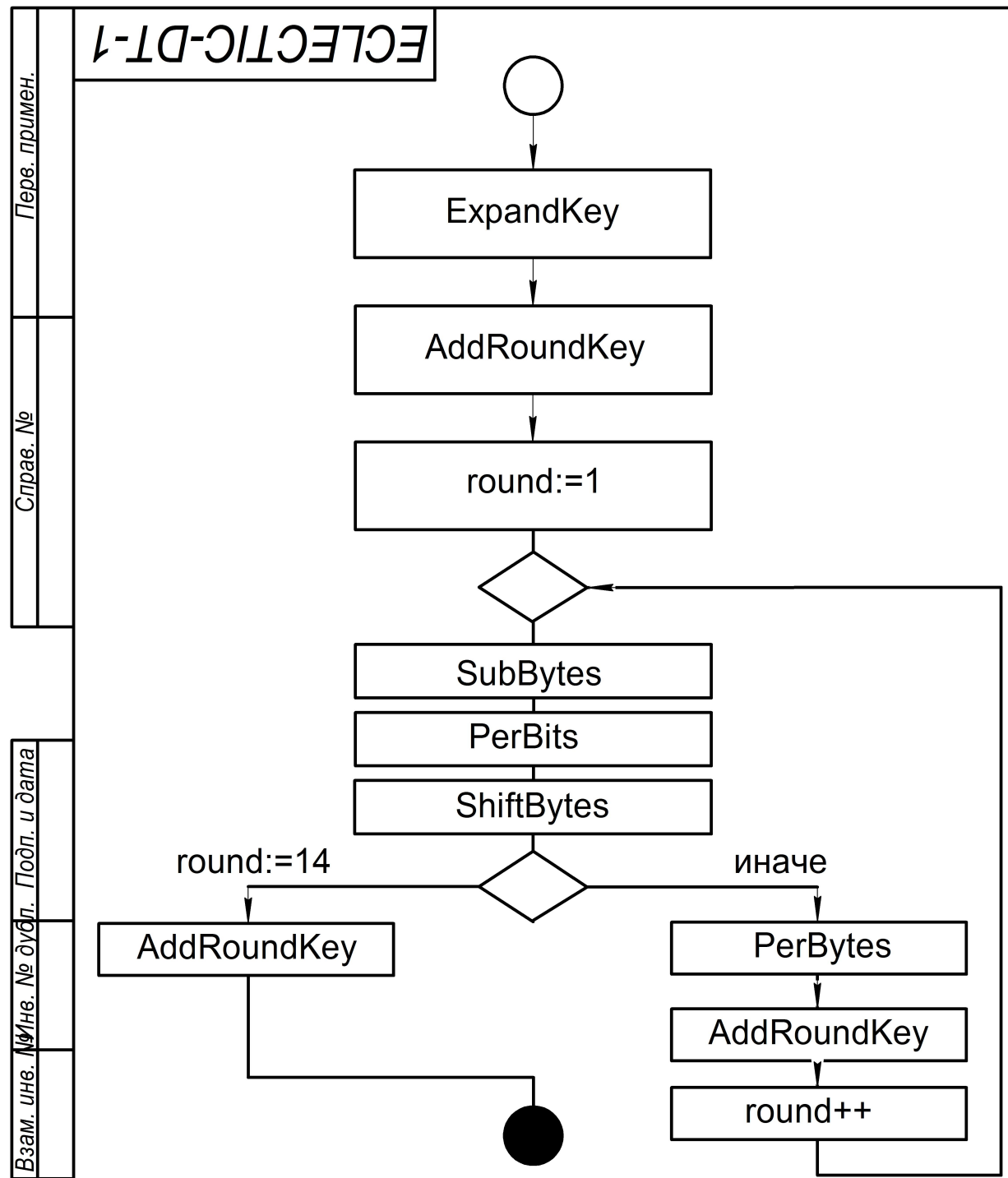
Последовательность выполнения процедур с 2-14 раунды:

$\text{InvPerBytes} \rightarrow \text{InvShiftBytes} \rightarrow \text{InvPerBytes} \rightarrow \text{InvSubBytes}$

**Алгоритм выработки ключей (Key Schedule)**

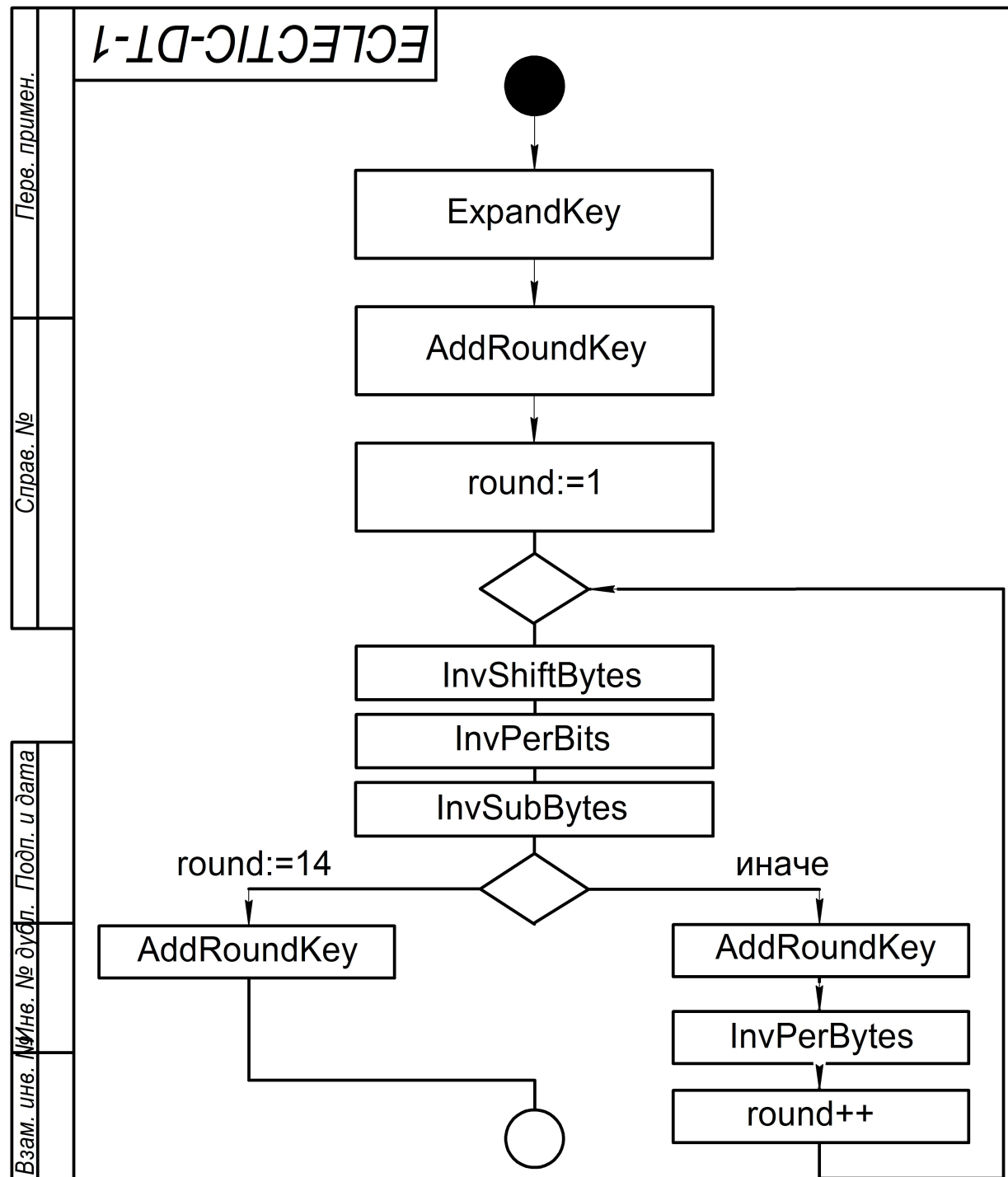
**ExpandKey** – вычисление раундных ключей для всех раундов.

**AddRoundKey** – сложение ключа раунда с матрицей состояния.



Изм.	Лист	№ докум.	Подп.	Дата	Лит.	Масса	Масштаб
Разраб.	Топчий Д.						1:1
Пров.							
Т.контр.							
Н.контр.							
Утв.							

**Алгоритм  
зашифрования**



# ECLECTIC-DT-1

Лит.	М.
Диаг.	

## 1.2 Математические основы алгоритма

### 1.2.1 Байт

В криптоалгоритме операции выполняются над байтами. Количество plafales (плафалов) равно количеству состояний, то есть  $2^8=256$ . Согласно [4, с 16] для байта  $\{b_7b_6b_5b_4b_3b_2b_1b_0\}$  существует взаимно-однозначное соответствие (биекция), которое образует plafal (плафал):  $b_{8-i} \leftrightarrow i, i = \overline{1;8}$ ; где  $i$  – сторона правильного 8-угольника. Например, для байта 00010011 соответствующий plafal (плафал) – рис.1.1:

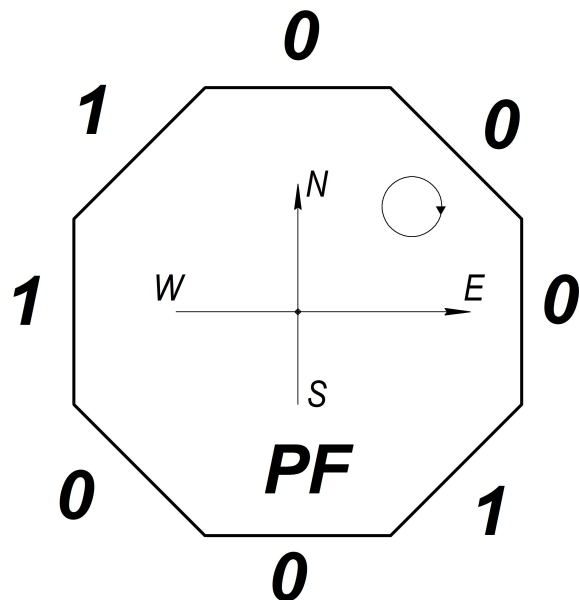


Рисунок 1.1 – Представление байта 00010011

Ориентация сторон plafal (плафала) с севера на северо-запад, то есть: 1 сторона находится на севере, 2 сторона находится на северо-востоке и т.д. Соответственно, правило обхода – вокруг часовой стрелки. При поворотах вокруг центра симметрии (операции PerBits и InvPerBits) plafal (плафала) ориентация сторон не изменяется.

### 1.2.2 Блок

Блок представляет собой последовательность из 16 plafales (плафалов), фактически образует сотовую структуру – „docking“ of plafales (стыковка плафалов) [4, с 605] из шестнадцати plafales (плафалов)  $PF_{ad}^{uniq}$  [4, с 589] – рис.1.2. Каждый из plafales (плафалов) имеет между собой 2, 3 или 4 общие стороны. На рис.1.3 представлена сотовая структура **позиций** комплекса „docking“ of plafales. То есть,  $PF_k, k = \overline{1; 16}$  означает, что один из шестнадцати plafales (плафалов) занимает  $k$ -ю позицию в сотовой структуре; при этом  $PF_k$  не является  $k$ -м плафалом (в алгоритме не существует понятие  $k$ -ого плафала). Исходя из определения процедуры „docking“ of plafales, имеем следующее: plafal (плафал), который имеет 2, 3 или 4 общие стороны с другими plafales (плафалами), безусловно, сохраняет свою байтовую структуру (на рис.1.2: 3-ей стороне  $PF_1$  (плафал который занимает 1-ю позицию) соответствует множество  $\{0\}$  и 7-ой стороне  $PF_5$  (плафал который занимает 5-ю позицию) – множество  $\{1\}$ ).

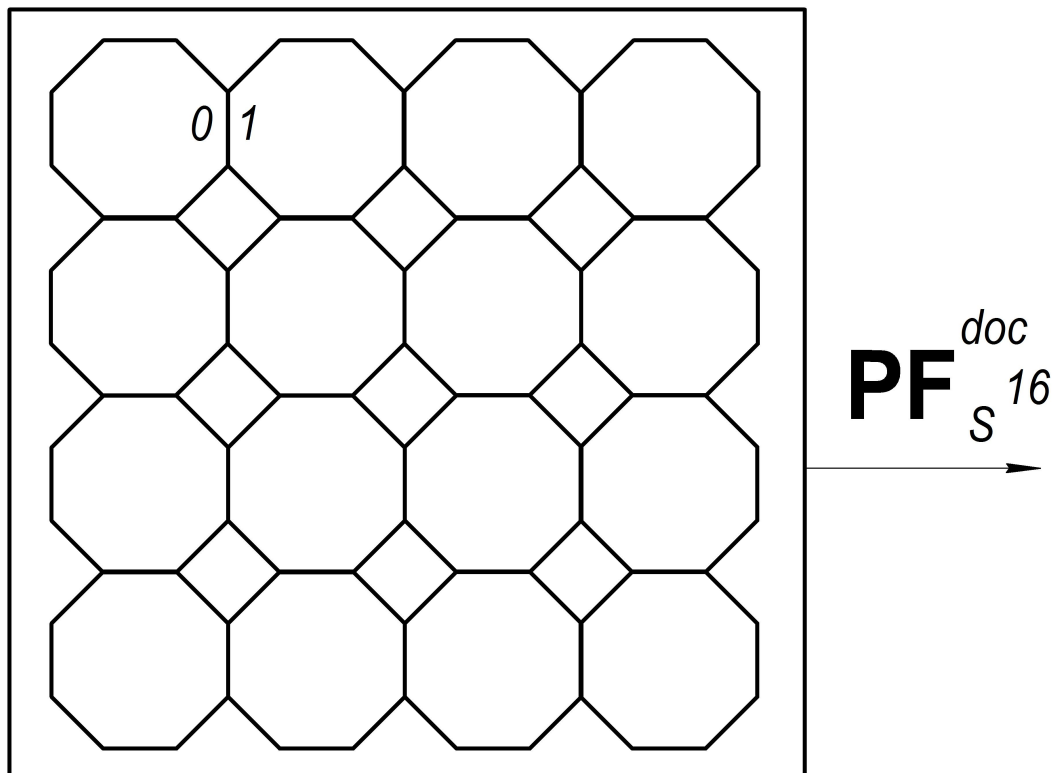


Рисунок 1.2 – Сотовая структура блока („docking“ of plafales)

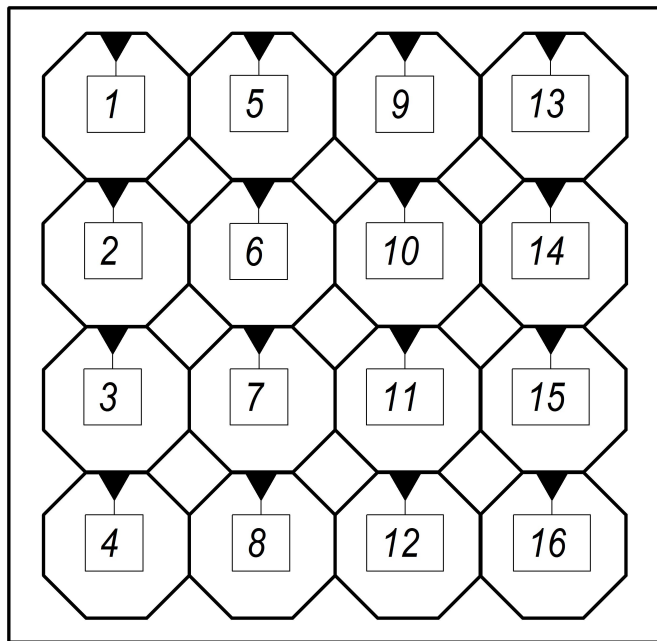


Рисунок 1.3 – Сотовая структура позиций блока

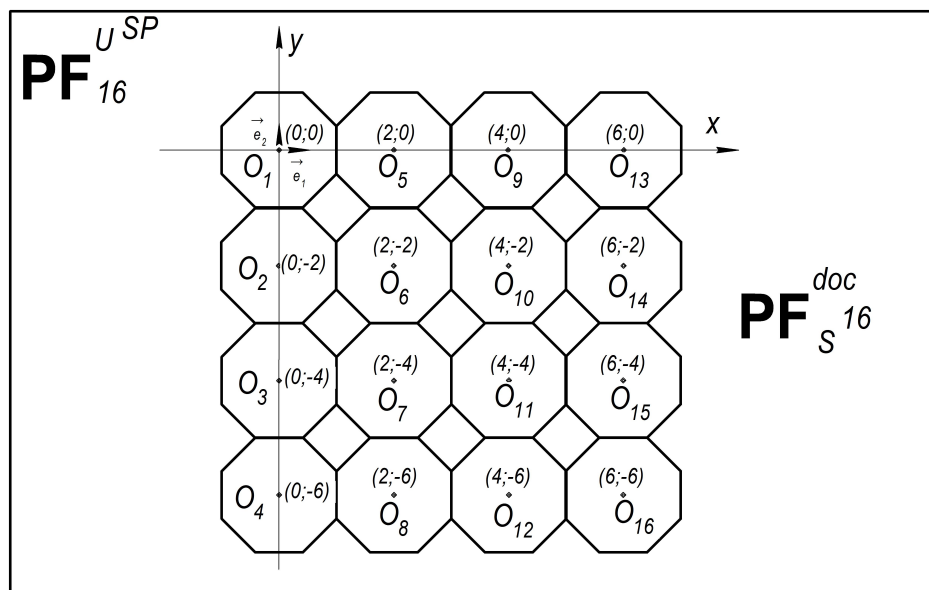
### 1.2.3 The static canvas of plafal (статический ковер плафала)

Вышеописанная сотовая структура блока находится на the static canvas of plafal (статическом ковре плафала) –  $\text{PF}_{16}^{U^{SP}}$  [4, с 16], который представляет собой плоскость в геометрии – двумерное пространство нулевой кривизны (то есть на  $E_2$ ). В контексте алгоритма, сотовую структуру блока и аффинные преобразования совершаемые над ним (раундовые операции PerBytes, InvPerBytes, ShiftBytes, InvShiftBytes) будем производить над правильными 8-угольниками, образующие каждый из plafales (плафалов) комплекса  $\text{PF}_{S^{16}}^{doc}$ . Раундовые операции PerBytes и InvPerBytes будем производить над правильным 16-угольником. Все шестнадцать правильных 8-угольников конгруэнтны между собой. Характеристики правильного 8-угольника: радиус вписанной окружности  $r = 1$ , длина стороны  $a = \frac{2}{1+\sqrt{2}}$ , радиус описанной окружности  $R = \sqrt[4]{\frac{8}{3+2\sqrt{2}}}$ . Соответственно, для комплекса  $\text{PF}_{S^{16}}^{doc}$ : начало правой прямоугольной системы координат – т.  $O_1 (0;0)$  находится в центре симметрии  $\text{PF}_1$ , соответствующий репер –  $R_1 (O_1, \vec{e}_1, \vec{e}_2)$ ; вектора  $\vec{e}_1$  и  $\vec{e}_2$  являются ортонормированными (с единичными длинами). Координаты центров симметрий  $\text{PF}_k, k = \overline{1; 16}$  и соответствующие реперы:

Таблица 1.1

$\text{PF}_k$	Координаты центров симметрий	Репер
$\text{PF}_1$	т. $O_1 (0;0)$	$R_1 (O_1, \vec{e}_1, \vec{e}_2)$
$\text{PF}_2$	т. $O_2 (0;-2)$	$R_2 (O_2, \vec{e}_1, \vec{e}_2)$
$\text{PF}_3$	т. $O_3 (0;-4)$	$R_3 (O_3, \vec{e}_1, \vec{e}_2)$
$\text{PF}_4$	т. $O_4 (0;-6)$	$R_4 (O_4, \vec{e}_1, \vec{e}_2)$
$\text{PF}_5$	т. $O_5 (2;0)$	$R_5 (O_5, \vec{e}_1, \vec{e}_2)$
$\text{PF}_6$	т. $O_6 (2;-2)$	$R_6 (O_6, \vec{e}_1, \vec{e}_2)$
$\text{PF}_7$	т. $O_7 (2;-4)$	$R_7 (O_7, \vec{e}_1, \vec{e}_2)$
$\text{PF}_8$	т. $O_8 (2;-6)$	$R_8 (O_8, \vec{e}_1, \vec{e}_2)$
$\text{PF}_9$	т. $O_9 (4;0)$	$R_9 (O_9, \vec{e}_1, \vec{e}_2)$
$\text{PF}_{10}$	т. $O_{10} (4;-2)$	$R_{10} (O_{10}, \vec{e}_1, \vec{e}_2)$
$\text{PF}_{11}$	т. $O_{11} (4;-4)$	$R_{11} (O_{11}, \vec{e}_1, \vec{e}_2)$
$\text{PF}_{12}$	т. $O_{12} (4;-6)$	$R_{12} (O_{12}, \vec{e}_1, \vec{e}_2)$
$\text{PF}_{13}$	т. $O_{13} (6;0)$	$R_{13} (O_{13}, \vec{e}_1, \vec{e}_2)$
$\text{PF}_{14}$	т. $O_{14} (6;-2)$	$R_{14} (O_{14}, \vec{e}_1, \vec{e}_2)$
$\text{PF}_{15}$	т. $O_{15} (6;-4)$	$R_{15} (O_{15}, \vec{e}_1, \vec{e}_2)$
$\text{PF}_{16}$	т. $O_{16} (6;-6)$	$R_{16} (O_{16}, \vec{e}_1, \vec{e}_2)$

Вышеописанная конфигурация показана на рис.1.4.

Рисунок 1.4 — Конфигурация на  $E_2$

Каждый из шестнадцати правильных 8-угольников однозначно определяется благодаря координатам своих вершин. Достаточно рассмотреть положение  $PF_1$  – рис.1.5; координаты вершин остальных правильных 8-угольников определяются вектором параллельного переноса  $\overrightarrow{O_1O_j}$ ,  $j = \overline{2; 16}$ .

Координаты вершин правильного 8-угольника и правильного 16-угольника определяются формулами:

$$x_i = O_x + R \cdot \cos\left(\phi_0 + \frac{2\pi i}{8}\right), i = \overline{0; n-1}$$

$$y_i = O_y + R \cdot \sin\left(\phi_0 + \frac{2\pi i}{8}\right), i = \overline{0; n-1}$$

$(O_x; O_y)$  – координаты центра симметрии;  $\phi_0$  – угловая координата первой вершины.

Координаты вершин  $PF_1$ :  $(\approx 0.415; 1)$ ,  $(1; \approx 0.415)$ ,  $(1; \approx -0.415)$ ,  $(\approx 0.415; -1)$ ,  $(\approx -0.415; -1)$ ,  $(-1; \approx -0.415)$ ,  $(-1; \approx 0.415)$ ,  $(\approx -0.415; 1)$ .

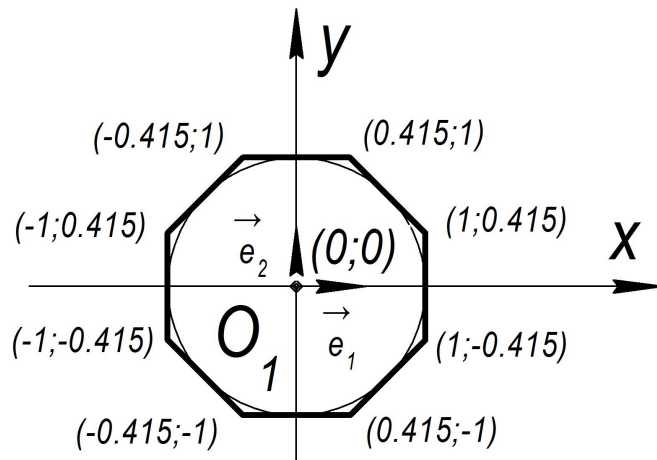


Рисунок 1.5 – Координаты вершин  $PF_1$

Северная сторона  $PF_1$ , до и после выполнения раундовых процедур, определяется в репере  $R_1$  координатами двух вершин:  $(\approx 0.415; 1)$ ,  $(\approx -0.415; 1)$ . Ориентация остальных сторон определяется согласно п.1.2.1.

#### 1.2.4 Матрица состояний

Матрица состояний (рис.1.6, рис.1.7) отображает состояние блока и формы в ходе выполнения всех раундовых процедур. То есть матрица  $4 \times 4$ :  $A = [a_{ij}]_{i=1}^{j=16}$

отражает неизменный порядок байтов в блоке по следующему принципу:

$$PF_k \leftrightarrow a_{ij}, k = \overline{1; 16} \quad (1.1)$$

Таблица 1.2

$PF_1 \leftrightarrow a_{11}$	$PF_2 \leftrightarrow a_{21}$	$PF_3 \leftrightarrow a_{31}$	$PF_4 \leftrightarrow a_{41}$
$PF_5 \leftrightarrow a_{12}$	$PF_6 \leftrightarrow a_{22}$	$PF_7 \leftrightarrow a_{32}$	$PF_8 \leftrightarrow a_{42}$
$PF_9 \leftrightarrow a_{13}$	$PF_{10} \leftrightarrow a_{23}$	$PF_{11} \leftrightarrow a_{33}$	$PF_{12} \leftrightarrow a_{43}$
$PF_{13} \leftrightarrow a_{14}$	$PF_{14} \leftrightarrow a_{24}$	$PF_{15} \leftrightarrow a_{34}$	$PF_{16} \leftrightarrow a_{44}$

$$\Lambda_{16} \leftrightarrow a_{ij} \quad (1.2)$$

$PF_k$  – сотовая структура позиций комплекса „docking“ of plafales (рис.1.3). Поясним подробнее:  $a_{11}$  – 1-ый байт,  $a_{21}$  – 2-ой байт и т.д. В ходе перестановок плафалов (ShiftBytes, InvShiftBytes, PerBytes, InvPerBytes) на позиции  $a_{11}$  (1-ого байта) может оказаться  $PF_9$  и т.п. Так как каждому байту  $\{b_7b_6b_5b_4b_3b_2b_1b_0\}$  записанному в двоичной системе счисления соответствует запись в шестнадцатеричной системе счисления –  $\Lambda_{16}$ , то согласно соответству (1.2), в матрице состояний первому байту  $a_{11}$  будет соответствовать запись байта в  $\Lambda_{16}$ , которая снимается с  $PF_1$ , согласно ориентации сторон правильного 8-угольника (п.1.2.1, п.1.2.3). Безусловно, с  $\Lambda_{16}$   $a_{ij}$  однозначно восстанавливается  $PF_k$ . Например, для байта 00010011 (п.1.2.1):  $\{00010011\} \leftrightarrow 13_{16}$ . Соответственно,  $13_{16} \leftrightarrow a_{11}$  (в случае  $PF_1$ ).

$a_{11}$	$a_{12}$	$a_{13}$	$a_{14}$
$a_{21}$	$a_{22}$	$a_{23}$	$a_{24}$
$a_{31}$	$a_{32}$	$a_{33}$	$a_{34}$
$a_{41}$	$a_{42}$	$a_{43}$	$a_{44}$

Рисунок 1.6 – Матрица состояний (общий вид)

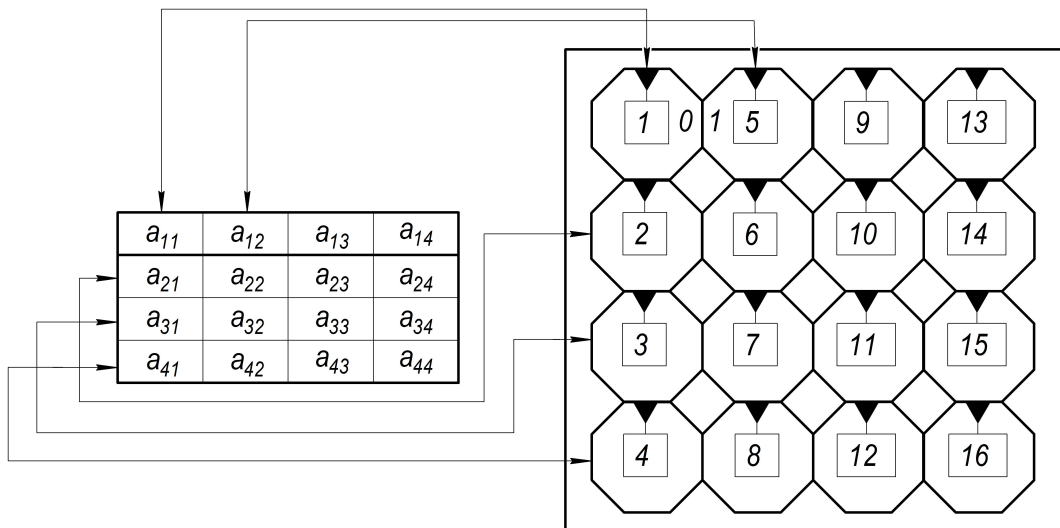


Рисунок 1.7 — Зависимость матрицы состояний и структуры позиций блока

### 1.2.5 Форма

Форма представляет собой plafal (плафал) –  $\text{PF}_{ad}^{uniq}$  [4, с 16, с 589] образованный следующим образом: для правильного шестнадцатиугольника существует взаимно-однозначное соответствие, которое образует plafal (плафал):  $a_{ij} \leftrightarrow l \Leftrightarrow \Lambda_{16} \leftrightarrow l, l = \overline{1; 16}$ ; где  $l$  – сторона правильного 16-угольника. Например, для матрицы состояний (рис.1.8) соответствующий plafal (плафал) – рис.1.9:

$a_{11}$	$a_{12}$	$a_{13}$	$a_{14}$
$a_{21}$	$a_{22}$	$a_{23}$	$a_{24}$
$a_{31}$	$a_{32}$	$a_{33}$	$a_{34}$
$a_{41}$	$a_{42}$	$a_{43}$	$a_{44}$

13	17	AB	64
57	FD	E3	CA
83	B7	EA	48
D4	C3	BF	A1

Рисунок 1.8 – Матрица состояний (в качестве примера)

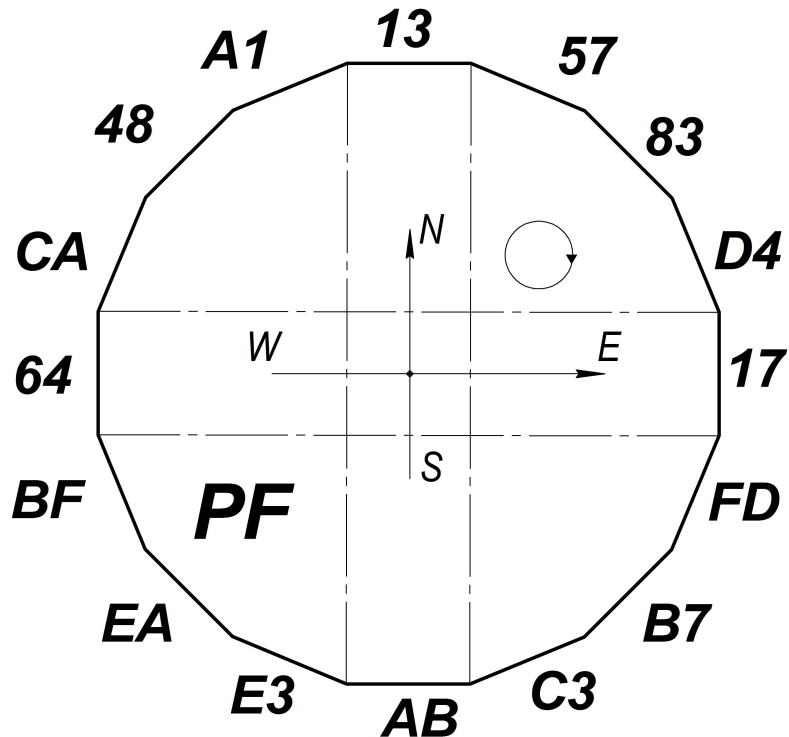


Рисунок 1.9 – Форма

Ориентация сторон plafal (плафала) с севера на севернее северо-запада, то есть: 1 сторона находится на севере, 2 сторона находится на севернее северо-востока и т.д. Соответственно, правило обхода – вокруг часовой стрелки. При поворотах вокруг центра симметрии (операции PerBytes и InvPerBytes) plafal (плафала) ориентация сторон не изменяется. Раундовые операции PerBytes и InvPerBytes будем производить над правильным 16-угольником (согласно п.1.2.3). Правильный 16-угольник находится на статическом ковре плафала, отличном от того на котором находится комплекс  $PF_{S^{16}}^{doc}$ . Характеристики правильного 16-угольника: радиус вписанной окружности  $r = 1$ , длина стороны  $a = 2r \tan \frac{\pi}{16} \approx 0.3976$ , радиус описанной окружности  $R = \frac{r}{\cos \frac{\pi}{16}} \approx 1.0195$ . Соответственно, для  $PF_{\text{Форма}}$ : начало правой прямоугольной системы координат – т.  $O_1 (0;0)$  находится в центре симметрии правильного 16-угольника, соответствующий репер –  $R_1 (O_1, \vec{e}_1, \vec{e}_2)$ ; вектора  $\vec{e}_1$  и  $\vec{e}_2$  являются ортонормированными (с единичными длинами). Координаты вершин  $PF_{\text{Форма}}$ :  $(\approx 0.2; 1)$ ,  $(\approx 0.56; \approx 0.84)$ ,  $(\approx 0.84; \approx 0.56)$ ,  $(1; \approx 0.2)$ ,  $(1; \approx -0.2)$ ,  $(\approx 0.84; \approx -0.56)$ ,  $(\approx 0.56; \approx -0.84)$ ,  $(\approx 0.2; -1)$ ,  $(\approx -0.2; -1)$ ,  $(\approx -0.56; \approx -0.84)$ ,  $(\approx -0.84; \approx -0.56)$ ,  $(-1; \approx -0.2)$ ,  $(\approx -0.84; \approx 0.56)$ ,  $(\approx -0.56; \approx 0.84)$ ,  $(\approx -0.2; 1)$ . Северная сторона  $PF_{\text{Форма}}$ , до и после выполнения раундовых про-

цедур, определяется в репере  $R_1$  координатами двух вершин:  $(\approx 0.2; 1)$ ,  $(\approx -0.2; 1)$ . Ориентация остальных сторон определяется обходом вокруг часовой стрелки.

Вышеописанная конфигурация продемонстрирована на рис.1.10.

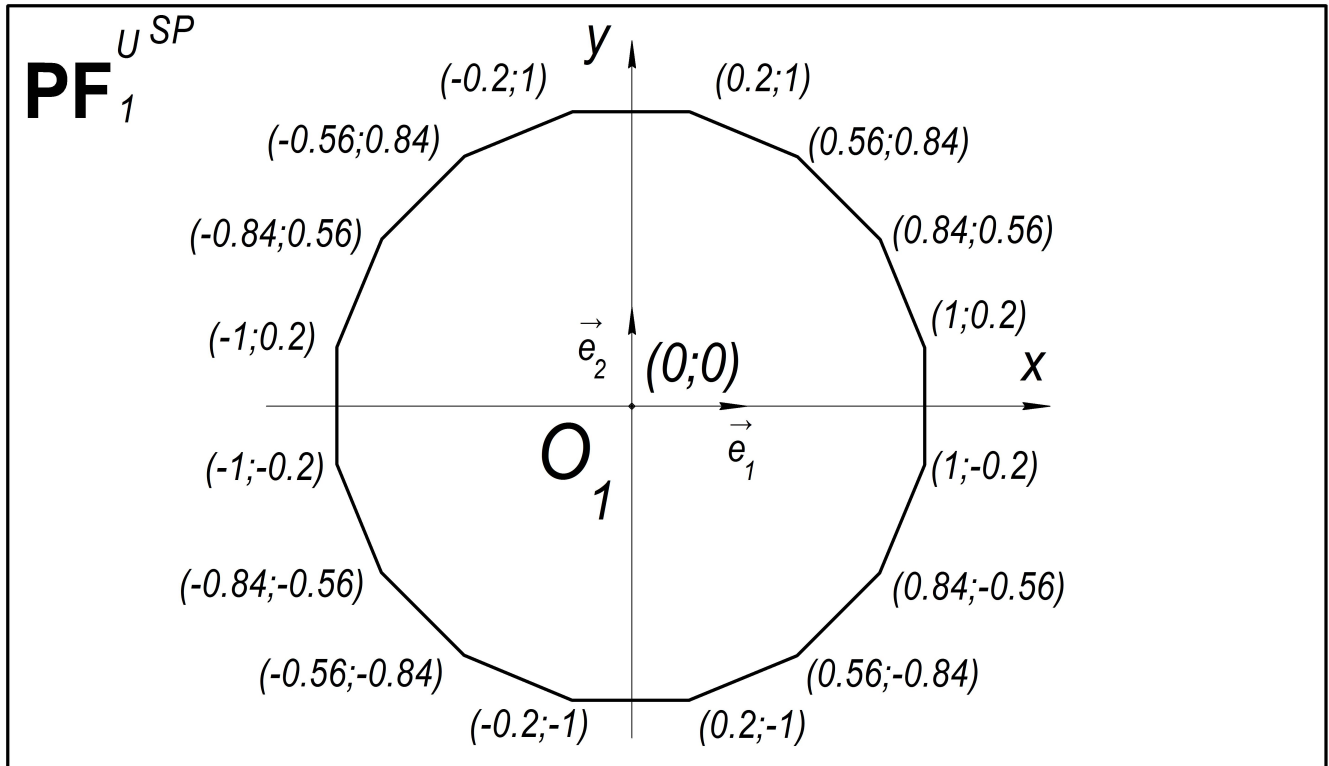


Рисунок 1.10 – Положение правильного 16-угольника на  $E_2$

### 1.2.6 Логическая взаимосвязь формы, матрицы состояний и блока

Обобщая результаты п.1.2.1-1.2.5, осуществляется возможным получить комплексную (интегрированную) логическую взаимосвязь формы, матрицы состояний и блока – рис.1.11. Взаимосвязь выражается следующим логическим взаимно-однозначным соответствием:

$$l \leftrightarrow \Lambda_{16} \leftrightarrow a_{ij} \leftrightarrow \{b_7b_6b_5b_4b_3b_2b_1b_0\} \leftrightarrow PF_k \quad (1.3)$$

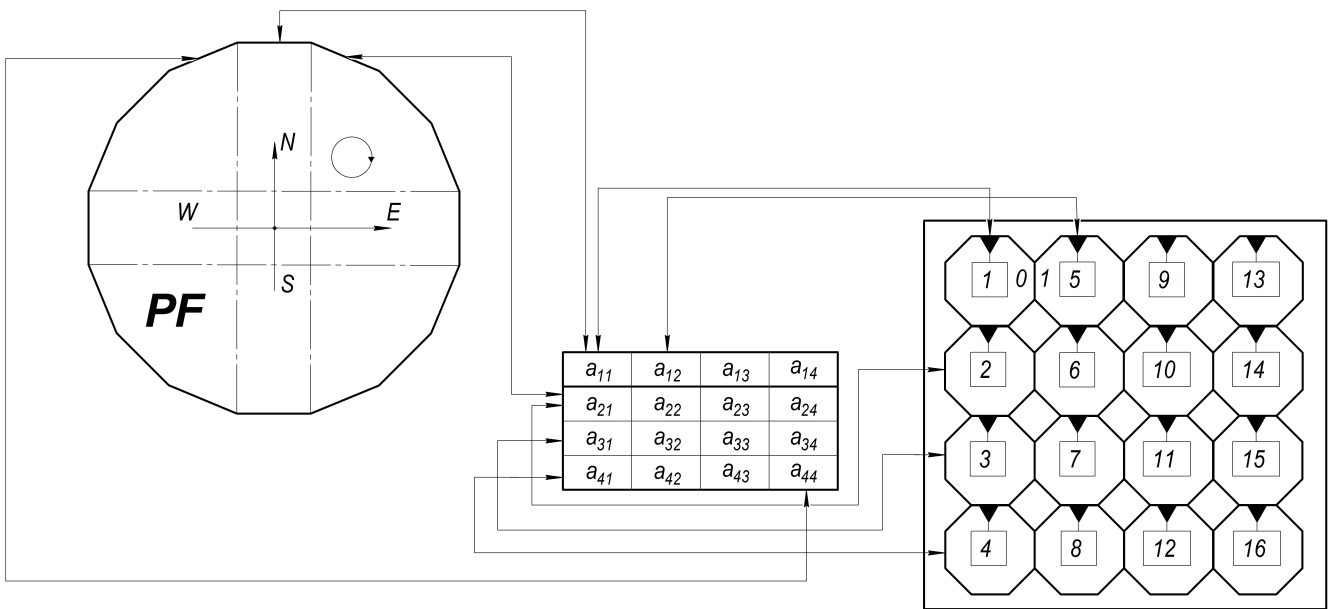


Рисунок 1.11 — Логическая взаимосвязь формы, матрицы состояний и блока

**Матрица состояний** отображает состояние блока и формы перед, в ходе, и после выполнения всех раундовых процедур.

Продемонстрируем на примере  $a_{11}$ . Первому байту  $a_{11}$  соответствуют записи в шестнадцатеричной системе счисления –  $\Lambda_{16}$  и двоичной системе счисления –  $\{b_7b_6b_5b_4b_3b_2b_1b_0\}$ . С  $\{b_7b_6b_5b_4b_3b_2b_1b_0\}$  образуется  $PF_1$  (п.1.2.1),  $\Lambda_{16}$  соответствует северная сторона  $PF_{\text{Форма}}$  (п.1.2.5). После выполнения раундовых операций над блоком  $PF_{S^{16}}^{doc}$  (PerBits, InvPerBits, ShiftBytes, InvShiftBytes) с  $PF_1$ , согласно ориентации сторон (п.1.2.1-1.2.3), снимается запись  $\{b_7b_6b_5b_4b_3b_2b_1b_0\}$  и переводится в  $\Lambda_{16}$  и т.д. Аналогично в обратном порядке. *Безусловно, зашифрованный (расшифрованный) блок снимается с матрицы состояний.*

### 1.2.7 Операция SubBytes

Раундовая операция SubBytes осуществляет подстановку байтов в матрице состояний с помощью таблицы подстановок – рис.1.12. Например, байт  $\{52\}$  заменится на  $\{00\}$ .

		y															
		0	1	2	3	4	5	6	7	8	9	a	b	c	d	e	f
x	0	63	7c	77	7b	f2	6b	6f	c5	30	01	67	2b	fe	d7	ab	76
	1	ca	82	c9	7d	fa	59	47	f0	ad	d4	a2	af	9c	a4	72	c0
	2	b7	fd	93	26	36	3f	f7	cc	34	a5	e5	f1	71	d8	31	15
	3	04	c7	23	c3	18	96	05	9a	07	12	80	e2	eb	27	b2	75
	4	09	83	2c	1a	1b	6e	5a	a0	52	3b	d6	b3	29	e3	2f	84
	5	53	d1	00	ed	20	fc	b1	5b	6a	cb	be	39	4a	4c	58	cf
	6	d0	ef	aa	fb	43	4d	33	85	45	f9	02	7f	50	3c	9f	a8
	7	51	a3	40	8f	92	9d	38	f5	bc	b6	da	21	10	ff	f3	d2
	8	cd	0c	13	ec	5f	97	44	17	c4	a7	7e	3d	64	5d	19	73
	9	60	81	4f	dc	22	2a	90	88	46	ee	b8	14	de	5e	0b	db
	a	e0	32	3a	0a	49	06	24	5c	c2	d3	ac	62	91	95	e4	79
	b	e7	c8	37	6d	8d	d5	4e	a9	6c	56	f4	ea	65	7a	ae	08
	c	ba	78	25	2e	1c	a6	b4	c6	e8	dd	74	1f	4b	bd	8b	8a
	d	70	3e	b5	66	48	03	f6	0e	61	35	57	b9	86	c1	1d	9e
	e	e1	f8	98	11	69	d9	8e	94	9b	1e	87	e9	ce	55	28	df
	f	8c	a1	89	0d	bf	e6	42	68	41	99	2d	0f	b0	54	bb	16

Рисунок 1.12 – Таблица подстановок операции SubBytes

### 1.2.8 Операция PerBits

Раундовая операция PerBits осуществляет перестановку битов в байте. В контексте данного алгоритма, операция рассматривается как поворот против часовой стрелки отдельно взятого *absolutely dynamic plafal* (абсолютно динамического плафала) –  $\text{PF}_{ad}^{uniq}$  [4, с 589] из комплекса  $\text{PF}_{S^{16}}^{doc}$ , вокруг центра симметрии на угол  $\varphi = \frac{360^\circ \cdot n}{8} = 45^\circ \cdot n, n \in N$ ,  $n$  – количество поворотов. Согласно п.1.2.3, раундовые операции PerBits будем производить над правильными 8-угольниками, образующие каждый из plafales (плафалов) комплекса  $\text{PF}_{S^{16}}^{doc}$ . Поворот, на данный угол, переводит правильный 8-угольник сам в себя. Множество углов поворотов:  $M = \{45^\circ; 90^\circ; 135^\circ; 180^\circ; 225^\circ; 270^\circ; 315^\circ; 360^\circ\}$ . Очевидно, что  $M \cong Z_8$ ,  $Z_8$  – кольцо вычетов по модулю 8. Отдельно взятый правильный 8-угольник –  $\text{PF}_k$  имеет свое собственное количество поворотов, которое определяется формулой:

$$n = \begin{cases} n \equiv f(k) \pmod{8}, 8 \nmid f(k) \\ 1, 8 \mid f(k) \end{cases}$$

$f(k)$  – функция количества поворотов, для каждого раунда имеет индивиду-

альный вид;  $k$  – позиция  $\text{PF}_k$  в сотовой структуре блока (п.1.2.2).

Функция работы поворота  $\omega(t)_{\text{PF}_d^{uniq}}$  [4, с 590] (в контексте алгоритма: изменение координат вершин правильного 8-угольника в репере  $\text{R}_k, k = \overline{1; 16}$ ):

$$\begin{bmatrix} x' \\ y' \end{bmatrix} = \begin{bmatrix} \cos \varphi & -\sin \varphi \\ \sin \varphi & \cos \varphi \end{bmatrix} \cdot \begin{bmatrix} x \\ y \end{bmatrix} \quad (1.4)$$

$\begin{bmatrix} \cos \varphi & -\sin \varphi \\ \sin \varphi & \cos \varphi \end{bmatrix}$  – матрица поворота против часовой стрелки;  $(x'; y')$  – координаты точки, полученные вращением точки  $(x; y)$ .

Для всех раундов (1-14) будут составлены таблицы, отображающие вышеописанные функциональные характеристики.



Рисунок 1.13 – Множество углов поворотов для  $\text{PF}_1$  комплекса  $\text{PF}_{S16}^{doc}$

Таблица 1.3 – Вид матрицы поворота от количества поворотов  $n$ 

$n$	$\varphi$	$\begin{bmatrix} \cos \varphi & -\sin \varphi \\ \sin \varphi & \cos \varphi \end{bmatrix}$
1	$45^\circ$	$\begin{bmatrix} \frac{\sqrt{2}}{2} & -\frac{\sqrt{2}}{2} \\ \frac{\sqrt{2}}{2} & \frac{\sqrt{2}}{2} \end{bmatrix}$
2	$90^\circ$	$\begin{bmatrix} 0 & -1 \\ 1 & 0 \end{bmatrix}$
3	$135^\circ$	$\begin{bmatrix} -\frac{\sqrt{2}}{2} & -\frac{\sqrt{2}}{2} \\ \frac{\sqrt{2}}{2} & -\frac{\sqrt{2}}{2} \end{bmatrix}$
4	$180^\circ$	$\begin{bmatrix} -1 & 0 \\ 0 & -1 \end{bmatrix}$
5	$225^\circ$	$\begin{bmatrix} -\frac{\sqrt{2}}{2} & \frac{\sqrt{2}}{2} \\ -\frac{\sqrt{2}}{2} & -\frac{\sqrt{2}}{2} \end{bmatrix}$
6	$270^\circ$	$\begin{bmatrix} 0 & 1 \\ -1 & 0 \end{bmatrix}$
7	$315^\circ$	$\begin{bmatrix} \frac{\sqrt{2}}{2} & \frac{\sqrt{2}}{2} \\ -\frac{\sqrt{2}}{2} & \frac{\sqrt{2}}{2} \end{bmatrix}$

**Раздел 1**

$$f(k) = k :$$

Таблица 1.4

$\text{PF}_k$	$f(k)$	$n$
$\text{PF}_1$	1	1
$\text{PF}_2$	2	2
$\text{PF}_3$	3	3
$\text{PF}_4$	4	4
$\text{PF}_5$	5	5
$\text{PF}_6$	6	6
$\text{PF}_7$	7	7

PF <sub>8</sub>	8	1
PF <sub>9</sub>	9	1
PF <sub>10</sub>	10	2
PF <sub>11</sub>	11	3
PF <sub>12</sub>	12	4
PF <sub>13</sub>	13	5
PF <sub>14</sub>	14	6
PF <sub>15</sub>	15	7
PF <sub>16</sub>	16	1

## Раунд 2

$$f(k) = k^2 :$$

Таблица 1.5

PF <sub>k</sub>	$f(k)$	$n$
PF <sub>1</sub>	1	1
PF <sub>2</sub>	4	4
PF <sub>3</sub>	9	1
PF <sub>4</sub>	16	1
PF <sub>5</sub>	25	1
PF <sub>6</sub>	36	4
PF <sub>7</sub>	49	1
PF <sub>8</sub>	64	1
PF <sub>9</sub>	81	1
PF <sub>10</sub>	100	4
PF <sub>11</sub>	121	1
PF <sub>12</sub>	144	1
PF <sub>13</sub>	169	1
PF <sub>14</sub>	196	4
PF <sub>15</sub>	225	1

PF <sub>16</sub>	256	1
------------------	-----	---

### Раунд 3

$$f(k) = k^3 :$$

Таблица 1.6

PF <sub>k</sub>	f(k)	n
PF <sub>1</sub>	1	1
PF <sub>2</sub>	8	1
PF <sub>3</sub>	27	3
PF <sub>4</sub>	64	1
PF <sub>5</sub>	125	5
PF <sub>6</sub>	216	1
PF <sub>7</sub>	343	7
PF <sub>8</sub>	512	1
PF <sub>9</sub>	729	1
PF <sub>10</sub>	1000	1
PF <sub>11</sub>	1331	3
PF <sub>12</sub>	1728	1
PF <sub>13</sub>	2197	5
PF <sub>14</sub>	2744	1
PF <sub>15</sub>	3375	7
PF <sub>16</sub>	4096	1

### Раунд 4

$$f(k) = k^2 + k :$$

Таблица 1.7

PF <sub>k</sub>	f(k)	n
-----------------	------	---

PF <sub>1</sub>	2	2
PF <sub>2</sub>	6	6
PF <sub>3</sub>	12	4
PF <sub>4</sub>	20	4
PF <sub>5</sub>	30	6
PF <sub>6</sub>	42	2
PF <sub>7</sub>	56	1
PF <sub>8</sub>	72	1
PF <sub>9</sub>	90	2
PF <sub>10</sub>	110	6
PF <sub>11</sub>	132	4
PF <sub>12</sub>	156	4
PF <sub>13</sub>	182	6
PF <sub>14</sub>	210	2
PF <sub>15</sub>	240	1
PF <sub>16</sub>	272	1

### Раунд 5

$$f(k) = k^3 + k :$$

Таблица 1.8

PF <sub>k</sub>	$f(k)$	$n$
PF <sub>1</sub>	2	2
PF <sub>2</sub>	10	2
PF <sub>3</sub>	30	6
PF <sub>4</sub>	68	4
PF <sub>5</sub>	130	2
PF <sub>6</sub>	222	6
PF <sub>7</sub>	350	6
PF <sub>8</sub>	520	1

PF <sub>9</sub>	738	2
PF <sub>10</sub>	1010	2
PF <sub>11</sub>	1342	6
PF <sub>12</sub>	1740	4
PF <sub>13</sub>	2210	2
PF <sub>14</sub>	2758	6
PF <sub>15</sub>	3390	6
PF <sub>16</sub>	4112	1

## Раунд 6

$$f(k) = [\pi^k] :$$

Таблица 1.9

PF <sub>k</sub>	f(k)	n
PF <sub>1</sub>	3	3
PF <sub>2</sub>	9	1
PF <sub>3</sub>	31	7
PF <sub>4</sub>	97	1
PF <sub>5</sub>	306	2
PF <sub>6</sub>	961	1
PF <sub>7</sub>	3020	4
PF <sub>8</sub>	9488	1
PF <sub>9</sub>	29809	1
PF <sub>10</sub>	93648	1
PF <sub>11</sub>	294204	4
PF <sub>12</sub>	924269	5
PF <sub>13</sub>	2903677	5
PF <sub>14</sub>	9122171	3
PF <sub>15</sub>	28658145	1
PF <sub>16</sub>	90032220	4

**Раунд 7**

$$f(k) = 2^k + 1 :$$

Таблица 1.10

$\text{PF}_k$	$f(k)$	$n$
$\text{PF}_1$	3	3
$\text{PF}_2$	5	5
$\text{PF}_3$	9	1
$\text{PF}_4$	17	1
$\text{PF}_5$	33	1
$\text{PF}_6$	65	1
$\text{PF}_7$	129	1
$\text{PF}_8$	257	1
$\text{PF}_9$	513	1
$\text{PF}_{10}$	1025	1
$\text{PF}_{11}$	2049	1
$\text{PF}_{12}$	4097	1
$\text{PF}_{13}$	8193	1
$\text{PF}_{14}$	16385	1
$\text{PF}_{15}$	32769	1
$\text{PF}_{16}$	65537	1

**Раунд 8**

$$f(k) = k^3 :$$

Таблица 1.11

$\text{PF}_k$	$f(k)$	$n$
$\text{PF}_1$	1	1
$\text{PF}_2$	8	1

PF <sub>3</sub>	27	3
PF <sub>4</sub>	64	1
PF <sub>5</sub>	125	5
PF <sub>6</sub>	216	1
PF <sub>7</sub>	343	7
PF <sub>8</sub>	512	1
PF <sub>9</sub>	729	1
PF <sub>10</sub>	1000	1
PF <sub>11</sub>	1331	3
PF <sub>12</sub>	1728	1
PF <sub>13</sub>	2197	5
PF <sub>14</sub>	2744	1
PF <sub>15</sub>	3375	7
PF <sub>16</sub>	4096	1

### Раунд 9

$$f(k) = k^2 :$$

Таблица 1.12

PF <sub>k</sub>	f(k)	n
PF <sub>1</sub>	1	1
PF <sub>2</sub>	4	4
PF <sub>3</sub>	9	1
PF <sub>4</sub>	16	1
PF <sub>5</sub>	25	1
PF <sub>6</sub>	36	4
PF <sub>7</sub>	49	1
PF <sub>8</sub>	64	1
PF <sub>9</sub>	81	1
PF <sub>10</sub>	100	4

PF <sub>11</sub>	121	1
PF <sub>12</sub>	144	1
PF <sub>13</sub>	169	1
PF <sub>14</sub>	196	4
PF <sub>15</sub>	225	1
PF <sub>16</sub>	256	1

## Раунд 10

$$f(k) = 2^k + 1 :$$

Таблица 1.13

PF <sub>k</sub>	$f(k)$	$n$
PF <sub>1</sub>	3	3
PF <sub>2</sub>	5	5
PF <sub>3</sub>	9	1
PF <sub>4</sub>	17	1
PF <sub>5</sub>	33	1
PF <sub>6</sub>	65	1
PF <sub>7</sub>	129	1
PF <sub>8</sub>	257	1
PF <sub>9</sub>	513	1
PF <sub>10</sub>	1025	1
PF <sub>11</sub>	2049	1
PF <sub>12</sub>	4097	1
PF <sub>13</sub>	8193	1
PF <sub>14</sub>	16385	1
PF <sub>15</sub>	32769	1
PF <sub>16</sub>	65537	1

**Раунд 11**

$$f(k) = k :$$

Таблица 1.14

PF <sub>k</sub>	f(k)	n
PF <sub>1</sub>	1	1
PF <sub>2</sub>	2	2
PF <sub>3</sub>	3	3
PF <sub>4</sub>	4	4
PF <sub>5</sub>	5	5
PF <sub>6</sub>	6	6
PF <sub>7</sub>	7	7
PF <sub>8</sub>	8	1
PF <sub>9</sub>	9	1
PF <sub>10</sub>	10	2
PF <sub>11</sub>	11	3
PF <sub>12</sub>	12	4
PF <sub>13</sub>	13	5
PF <sub>14</sub>	14	6
PF <sub>15</sub>	15	7
PF <sub>16</sub>	16	1

**Раунд 12**

$$f(k) = k^3 + k :$$

Таблица 1.15

PF <sub>k</sub>	f(k)	n
PF <sub>1</sub>	2	2
PF <sub>2</sub>	10	2

PF <sub>3</sub>	30	6
PF <sub>4</sub>	68	4
PF <sub>5</sub>	130	2
PF <sub>6</sub>	222	6
PF <sub>7</sub>	350	6
PF <sub>8</sub>	520	1
PF <sub>9</sub>	738	2
PF <sub>10</sub>	1010	2
PF <sub>11</sub>	1342	6
PF <sub>12</sub>	1740	4
PF <sub>13</sub>	2210	2
PF <sub>14</sub>	2758	6
PF <sub>15</sub>	3390	6
PF <sub>16</sub>	4112	1

**Раунд 13**

$$f(k) = [\pi^k] :$$

Таблица 1.16

PF <sub>k</sub>	f(k)	n
PF <sub>1</sub>	3	3
PF <sub>2</sub>	9	1
PF <sub>3</sub>	31	7
PF <sub>4</sub>	97	1
PF <sub>5</sub>	306	2
PF <sub>6</sub>	961	1
PF <sub>7</sub>	3020	4
PF <sub>8</sub>	9488	1
PF <sub>9</sub>	29809	1
PF <sub>10</sub>	93648	1

PF <sub>11</sub>	294204	4
PF <sub>12</sub>	924269	5
PF <sub>13</sub>	2903677	5
PF <sub>14</sub>	9122171	3
PF <sub>15</sub>	28658145	1
PF <sub>16</sub>	90032220	4

### Раунд 14

$$f(k) = k^2 + k :$$

Таблица 1.17

PF <sub>k</sub>	f(k)	n
PF <sub>1</sub>	2	2
PF <sub>2</sub>	6	6
PF <sub>3</sub>	12	4
PF <sub>4</sub>	20	4
PF <sub>5</sub>	30	6
PF <sub>6</sub>	42	2
PF <sub>7</sub>	56	1
PF <sub>8</sub>	72	1
PF <sub>9</sub>	90	2
PF <sub>10</sub>	110	6
PF <sub>11</sub>	132	4
PF <sub>12</sub>	156	4
PF <sub>13</sub>	182	6
PF <sub>14</sub>	210	2
PF <sub>15</sub>	240	1
PF <sub>16</sub>	272	1

### 1.2.9 Операция ShiftBytes

Раундовая операция ShiftBytes осуществляет циклический сдвиг байт в матрице состояний на различные величины. В контексте данного алгоритма рассматривается как параллельный перенос  $PF_i$  (п.1.2.2) на  $PF_j$  (п.1.2.2);  $i \neq j$  комплекса  $PF_{S^{16}}^{doc}$ . Параллельный перенос – „lucidification“ of the system of plafales [4, с 592] (осветление сотовой структуры блока) –  $LUC_{PF_{S^{16}}}$ .

$$LUC_{PF_{S^{16}}} = \begin{cases} PF_2 \rightarrow PF_{14}, PF_{14} \rightarrow PF_{10}, PF_{10} \rightarrow PF_6, PF_6 \rightarrow PF_2 \\ PF_3 \rightarrow PF_{11}, PF_{15} \rightarrow PF_7, PF_{11} \rightarrow PF_3, PF_7 \rightarrow PF_{15} \\ PF_4 \rightarrow PF_8, PF_{16} \rightarrow PF_4, PF_{12} \rightarrow PF_{16}, PF_8 \rightarrow PF_{12} \end{cases}$$

Согласно п.1.2.3, раундовые операции ShiftBytes будем производить над правильными 8-угольниками, образующие каждый из plafales (плафалов) комплекса  $PF_{S^{16}}^{doc}$ . То есть, правильный 8-угольник который занимает 2 позицию, параллельным переносом переходит на 14 позицию и т.д. Фактически, правильный 8-угольник из репера  $R_i$  переходит в репер  $R_j$ . Вектором указанного перехода выступает  $\overrightarrow{O_i O_j}$ . Обобщая вышесказанное:

$$\left\{ \begin{array}{l} R_2 \rightarrow R_{14}, \overrightarrow{O_2 O_{14}} = (6, 0) \\ R_{14} \rightarrow R_{10}, \overrightarrow{O_{14} O_{10}} = (-2, 0) \\ R_{10} \rightarrow R_6, \overrightarrow{O_{10} O_6} = (-2, 0) \\ R_6 \rightarrow R_2, \overrightarrow{O_6 O_2} = (-2, 0) \\ R_3 \rightarrow R_{11}, \overrightarrow{O_3 O_{11}} = (4, 0) \\ R_{15} \rightarrow R_7, \overrightarrow{O_{15} O_7} = (-4, 0) \\ R_{11} \rightarrow R_3, \overrightarrow{O_{11} O_3} = (-4, 0) \\ R_7 \rightarrow R_{15}, \overrightarrow{O_7 O_{15}} = (4, 0) \\ R_4 \rightarrow R_8, \overrightarrow{O_4 O_8} = (2, 0) \\ R_{16} \rightarrow R_4, \overrightarrow{O_{16} O_4} = (-6, 0) \\ R_{12} \rightarrow R_{16}, \overrightarrow{O_{12} O_{16}} = (2, 0) \\ R_8 \rightarrow R_{12}, \overrightarrow{O_8 O_{12}} = (2, 0) \end{array} \right.$$

Данная конфигурация выполняется во всех раундах 1-14.

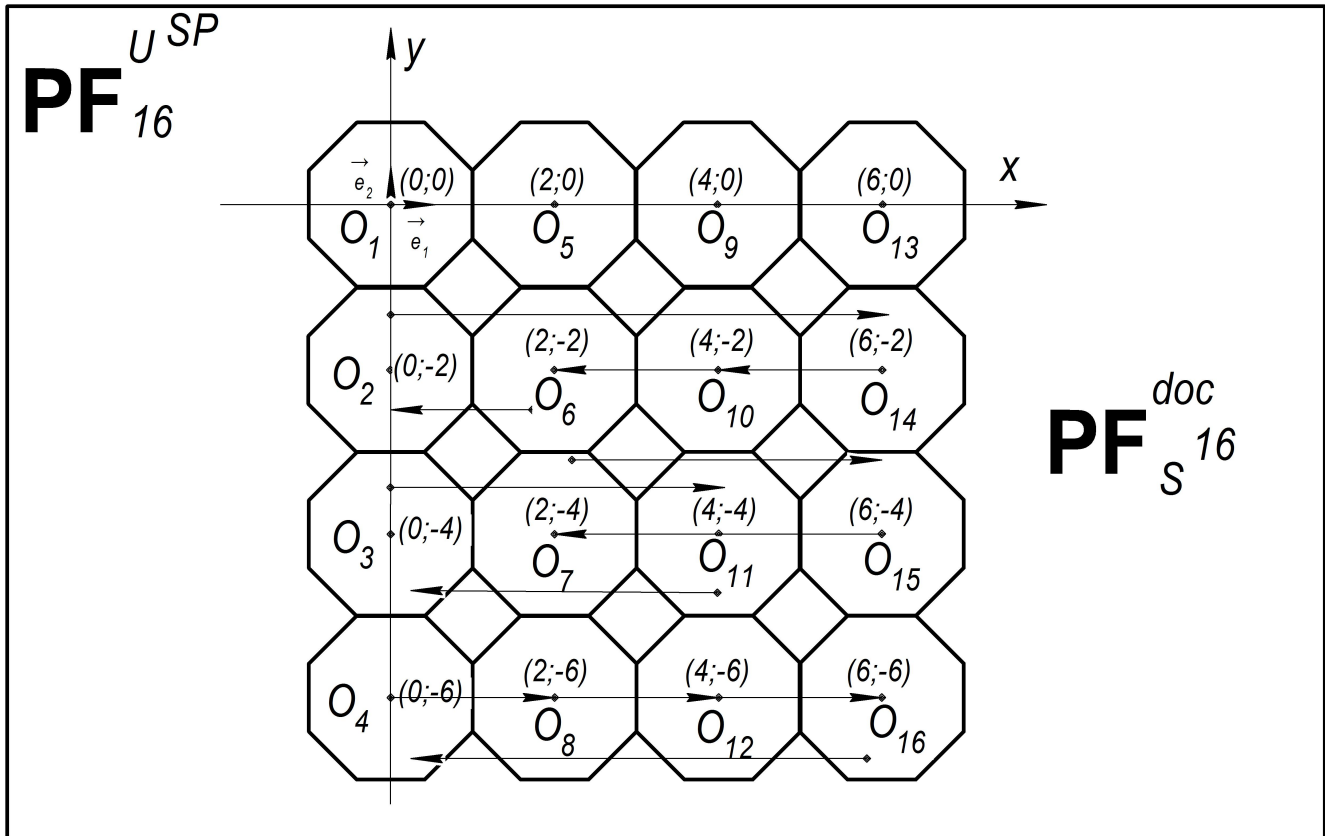


Рисунок 1.14 — Раундовая операция ShiftBytes

### 1.2.10 Операция PerBytes

Операция PerBytes осуществляет перестановку байт в матрице состояний. В контексте данного алгоритма рассматривается как поворот против часовой стрелки *absolutely dynamic plafal* (абсолютно динамического плафала) –  $\text{PF}_{ad}^{uniq}$  вокруг центра симметрии на угол  $\varphi = \frac{360^\circ \cdot n}{16} = 22.5^\circ \cdot n$ ,  $n$  – количество поворотов. Согласно п.1.2.3 и п.1.2.5, раундовые операции PerBytes будем производить над правильным 16-угольником, образующий форму. Поворот, на данный угол, переводит правильный 16-угольник сам в себя. Множество углов поворотов:

$$M = \{22.5^\circ; 45^\circ; 67.5^\circ; 90^\circ; 112.5^\circ; 135^\circ; 157.5^\circ; 180^\circ; 202.5^\circ; 225^\circ; 247.5^\circ; 270^\circ; 292.5^\circ; 315^\circ; 337.5^\circ; 360^\circ\}$$

Очевидно, что  $M \cong Z_{16}$ ,  $Z_{16}$  – кольцо вычетов по модулю 16. Правильный 16-угольник –  $\text{PF}_{\text{Форма}}$ , в каждом из 13 раундов, имеет свое собственное количество

поворотов, которое определяется формулой:

$$n = \begin{cases} n \equiv f(k) \pmod{16}, 16 \nmid f(k) \\ 1, 16 \mid f(k) \end{cases}$$

$f(k)$  – функция количества поворотов,  $f(k) = \frac{(\frac{1+\sqrt{5}}{2})^k - (\frac{1-\sqrt{5}}{2})^k}{\sqrt{5}}$ ,  $k$  – номер раунда.

Функция работы поворота  $\omega(t)_{PF_d^{uniq}}$  [4, с 590] (в контексте алгоритма: изменение координат вершин правильного 16-угольника в репере  $R_1$ ):

$$\begin{bmatrix} x' \\ y' \end{bmatrix} = \begin{bmatrix} \cos \varphi & -\sin \varphi \\ \sin \varphi & \cos \varphi \end{bmatrix} \cdot \begin{bmatrix} x \\ y \end{bmatrix} \quad (1.5)$$

$\begin{bmatrix} \cos \varphi & -\sin \varphi \\ \sin \varphi & \cos \varphi \end{bmatrix}$  – матрица поворота против часовой стрелки;  $(x'; y')$  – координаты точки, полученные вращением точки  $(x; y)$ .

Для всех раундов (1-13) будут составлены таблицы, отображающие вышеописанные функциональные характеристики.

Таблица 1.18 – Вид матрицы поворота от количества поворотов  $n$

$n$	$\varphi$	$\begin{bmatrix} \cos \varphi & -\sin \varphi \\ \sin \varphi & \cos \varphi \end{bmatrix}$
1	$22.5^\circ$	$\begin{bmatrix} 0.92 & -0.38 \\ 0.38 & 0.92 \end{bmatrix}$
2	$45^\circ$	$\begin{bmatrix} \frac{\sqrt{2}}{2} & -\frac{\sqrt{2}}{2} \\ \frac{\sqrt{2}}{2} & \frac{\sqrt{2}}{2} \end{bmatrix}$
3	$67.5^\circ$	$\begin{bmatrix} 0.38 & -0.92 \\ 0.92 & 0.38 \end{bmatrix}$
4	$90^\circ$	$\begin{bmatrix} 0 & -1 \\ 1 & 0 \end{bmatrix}$
5	$112.5^\circ$	$\begin{bmatrix} -0.38 & -0.92 \\ 0.92 & -0.38 \end{bmatrix}$
6	$135^\circ$	$\begin{bmatrix} -\frac{\sqrt{2}}{2} & -\frac{\sqrt{2}}{2} \\ \frac{\sqrt{2}}{2} & -\frac{\sqrt{2}}{2} \end{bmatrix}$

7	$157.5^\circ$	$\begin{bmatrix} -0.92 & -0.38 \\ 0.38 & -0.92 \end{bmatrix}$
8	$180^\circ$	$\begin{bmatrix} -1 & 0 \\ 0 & -1 \end{bmatrix}$
9	$202.5^\circ$	$\begin{bmatrix} -0.92 & 0.38 \\ -0.38 & -0.92 \end{bmatrix}$
10	$225^\circ$	$\begin{bmatrix} -\frac{\sqrt{2}}{2} & \frac{\sqrt{2}}{2} \\ -\frac{\sqrt{2}}{2} & -\frac{\sqrt{2}}{2} \end{bmatrix}$
11	$247.5^\circ$	$\begin{bmatrix} -0.38 & 0.92 \\ -0.92 & -0.38 \end{bmatrix}$
12	$270^\circ$	$\begin{bmatrix} 0 & 1 \\ -1 & 0 \end{bmatrix}$
13	$292.5^\circ$	$\begin{bmatrix} 0.38 & 0.92 \\ -0.92 & 0.38 \end{bmatrix}$
14	$315^\circ$	$\begin{bmatrix} \frac{\sqrt{2}}{2} & \frac{\sqrt{2}}{2} \\ -\frac{\sqrt{2}}{2} & \frac{\sqrt{2}}{2} \end{bmatrix}$
15	$337.5^\circ$	$\begin{bmatrix} 0.92 & 0.38 \\ -0.38 & 0.92 \end{bmatrix}$

## Раунд 1

Таблица 1.19

$\text{PF}_{\text{Форма}}$	$f(k)$	$n$
$\text{PF}_{\text{Форма}}$	1	1

## Раунд 2

Таблица 1.20

$\text{PF}_{\text{Форма}}$	$f(k)$	$n$
$\text{PF}_{\text{Форма}}$	1	1

**Раунд 3**

Таблица 1.21

PF <sub>Форма</sub>	$f(k)$	$n$
PF <sub>Форма</sub>	2	2

**Раунд 4**

Таблица 1.22

PF <sub>Форма</sub>	$f(k)$	$n$
PF <sub>Форма</sub>	3	3

**Раунд 5**

Таблица 1.23

PF <sub>Форма</sub>	$f(k)$	$n$
PF <sub>Форма</sub>	5	5

**Раунд 6**

Таблица 1.24

PF <sub>Форма</sub>	$f(k)$	$n$
PF <sub>Форма</sub>	8	8

**Раунд 7**

Таблица 1.25

PF <sub>Форма</sub>	$f(k)$	$n$
PF <sub>Форма</sub>	13	13

**Раунд 8**

Таблица 1.26

PF <sub>Форма</sub>	$f(k)$	$n$
PF <sub>Форма</sub>	21	5

**Раунд 9**

Таблица 1.27

PF <sub>Форма</sub>	$f(k)$	$n$
PF <sub>Форма</sub>	34	2

**Раунд 10**

Таблица 1.28

PF <sub>Форма</sub>	$f(k)$	$n$
PF <sub>Форма</sub>	55	7

**Раунд 11**

Таблица 1.29

PF <sub>Форма</sub>	$f(k)$	$n$
PF <sub>Форма</sub>	89	9

**Раунд 12**

Таблица 1.30

PF <sub>Форма</sub>	$f(k)$	$n$
PF <sub>Форма</sub>	144	1

**Раунд 13**

Таблица 1.31

PF <sub>Форма</sub>	$f(k)$	$n$
PF <sub>Форма</sub>	233	9

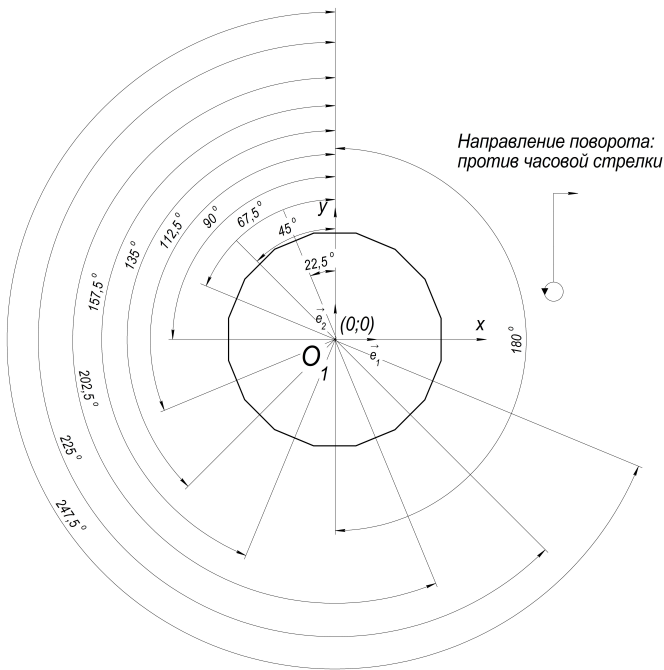


Рисунок 1.15 — Множество углов поворотов для PF<sub>Форма</sub>

### 1.2.11 InvSubBytes

Это преобразование обратно преобразованию SubBytes. Раундовая операция InvSubBytes осуществляет подстановку байтов в матрице состояний с помощью обратной таблицы подстановок – рис.1.16.

		Y																
		0	1	2	3	4	5	6	7	8	9	a	b	c	d	e	f	
		0	52	09	6a	d5	30	36	a5	38	bf	40	a3	9e	81	f3	d7	fb
		1	7c	e3	39	82	9b	2f	ff	87	34	8e	43	44	c4	de	e9	cb
		2	54	7b	94	32	a6	c2	23	3d	ee	4c	95	0b	42	fa	c3	4e
		3	08	2e	a1	66	28	d9	24	b2	76	5b	a2	49	6d	8b	d1	25
		4	72	f8	f6	64	86	68	98	16	d4	a4	5c	cc	5d	65	b6	92
		5	6c	70	48	50	fd	ed	b9	da	5e	15	46	57	a7	8d	9d	84
		6	90	d8	ab	00	8c	bc	d3	0a	f7	e4	58	05	b8	b3	45	06
		7	d0	2c	1e	8f	ca	3f	0f	02	c1	af	bd	03	01	13	8a	6b
		8	3a	91	11	41	4f	67	dc	ea	97	f2	cf	ce	f0	b4	e6	73
		9	96	ac	74	22	e7	ad	35	85	e2	f9	37	e8	1c	75	df	6e
		a	47	f1	1a	71	1d	29	c5	89	6f	b7	62	0e	aa	18	be	1b
		b	fc	56	3e	4b	c6	d2	79	20	9a	db	c0	fe	78	cd	5a	f4
		c	1f	dd	a8	33	88	07	c7	31	b1	12	10	59	27	80	ec	5f
		d	60	51	7f	a9	19	b5	4a	0d	2d	e5	7a	9f	93	c9	9c	ef
		e	a0	e0	3b	4d	ae	2a	f5	b0	c8	eb	bb	3c	83	53	99	61
		f	17	2b	04	7e	ba	77	d6	26	e1	69	14	63	55	21	0c	7d

Рисунок 1.16 — Таблица подстановок операции InvSubBytes

### 1.2.12 InvPerBits

Это преобразование обратно преобразованию PerBits. Раундовая операция InvPerBits осуществляет перестановку битов в байте. В контексте данного алгоритма, операция рассматривается как поворот вокруг часовой стрелки отдельно взятого *absolutely dynamic plafal* (абсолютно динамического плафала) –  $\text{PF}_{ad}^{uniq}$  [4, с 589] из комплекса  $\text{PF}_{S^{16}}^{doc}$ , вокруг центра симметрии на угол  $\varphi = \frac{360^\circ \cdot n}{8} = 45^\circ \cdot n, n \in N$ ,  $n$  – количество поворотов. Согласно п.1.2.3, раундовые операции InvPerBits будем производить над правильными 8-угольниками, образующие каждый из *plafales* (плафалов) комплекса  $\text{PF}_{S^{16}}^{doc}$ . Поворот, на данный угол, переводит правильный 8-угольник сам в себя. Множество углов поворотов:  $M = \{45^\circ; 90^\circ; 135^\circ; 180^\circ; 225^\circ; 270^\circ; 315^\circ; 360^\circ\}$ . Очевидно, что  $M \cong Z_8, Z_8$  – кольцо вычетов по модулю 8. Отдельно взятый правильный 8-угольник –  $\text{PF}_k$  имеет свое собственное количество поворотов, которое определяется формулой:

$$n = \begin{cases} n \equiv f(k) \pmod{8}, 8 \nmid f(k) \\ 1, 8 \mid f(k) \end{cases}$$

$f(k)$  – функция количества поворотов, для каждого раунда имеет индивидуальный вид;  $k$  – позиция  $\text{PF}_k$  в сотовой структуре блока (п.1.2.2).

Функция работы поворота  $\omega(t)_{\text{PF}_d^{uniq}}$  [4, с 590] (в контексте алгоритма: изменение координат вершин правильного 8-угольника в репере  $\text{R}_k, k = \overline{1; 16}$ ):

$$\begin{bmatrix} x' \\ y' \end{bmatrix} = \begin{bmatrix} \cos \varphi & \sin \varphi \\ -\sin \varphi & \cos \varphi \end{bmatrix} \cdot \begin{bmatrix} x \\ y \end{bmatrix} \quad (1.6)$$

$\begin{bmatrix} \cos \varphi & \sin \varphi \\ -\sin \varphi & \cos \varphi \end{bmatrix}$  – матрица поворота вокруг часовой стрелки;  $(x'; y')$  – координаты точки, полученные вращением точки  $(x; y)$ .

Таблица 1.32 – Вид матрицы поворота от количества поворотов  $n$

$n$	$\varphi$	$\begin{bmatrix} \cos \varphi & \sin \varphi \\ -\sin \varphi & \cos \varphi \end{bmatrix}$
1	$45^\circ$	$\begin{bmatrix} \frac{\sqrt{2}}{2} & \frac{\sqrt{2}}{2} \\ -\frac{\sqrt{2}}{2} & \frac{\sqrt{2}}{2} \end{bmatrix}$

2	$90^\circ$	$\begin{bmatrix} 0 & 1 \\ -1 & 0 \end{bmatrix}$
3	$135^\circ$	$\begin{bmatrix} -\frac{\sqrt{2}}{2} & \frac{\sqrt{2}}{2} \\ -\frac{\sqrt{2}}{2} & -\frac{\sqrt{2}}{2} \end{bmatrix}$
4	$180^\circ$	$\begin{bmatrix} -1 & 0 \\ 0 & -1 \end{bmatrix}$
5	$225^\circ$	$\begin{bmatrix} -\frac{\sqrt{2}}{2} & -\frac{\sqrt{2}}{2} \\ \frac{\sqrt{2}}{2} & -\frac{\sqrt{2}}{2} \end{bmatrix}$
6	$270^\circ$	$\begin{bmatrix} 0 & -1 \\ 1 & 0 \end{bmatrix}$
7	$315^\circ$	$\begin{bmatrix} \frac{\sqrt{2}}{2} & -\frac{\sqrt{2}}{2} \\ \frac{\sqrt{2}}{2} & \frac{\sqrt{2}}{2} \end{bmatrix}$

Раунды 1-14 выполняются в порядке 14-1 раундовой операции PerBits. То есть, 1-ый раунд операции InvPerBits – 14 раунд операции PerBits и т.д.

### 1.2.13 InvShiftBytes

Это преобразование обратно преобразованию ShiftBytes. Раундовая операция InvShiftBytes осуществляет циклический сдвиг байт в матрице состояний на различные величины. В контексте данного алгоритма рассматривается как параллельный перенос  $PF_j$  (п.1.2.2) на  $PF_i$  (п.1.2.2);  $j \neq i$  комплекса  $PF_{S^{16}}^{doc}$ . Параллельный перенос – „lucidification“ of the system of plafales [4, с 592] (освещение сотовой структуры блока) –  $LUC_{PF_{S^{16}}}$ .

$$LUC_{PF_{S^{16}}} = \begin{cases} PF_{14} \rightarrow PF_2, PF_{10} \rightarrow PF_{14}, PF_6 \rightarrow PF_{10}, PF_2 \rightarrow PF_6 \\ PF_{11} \rightarrow PF_3, PF_7 \rightarrow PF_{15}, PF_3 \rightarrow PF_{11}, PF_{15} \rightarrow PF_7 \\ PF_8 \rightarrow PF_4, PF_4 \rightarrow PF_{16}, PF_{16} \rightarrow PF_{12}, PF_{12} \rightarrow PF_8 \end{cases}$$

Согласно п.1.2.3, раундовые операции InvShiftBytes будем производить над правильными 8-угольниками, образующие каждый из plafales (плафалов) комплекса  $PF_{S^{16}}^{doc}$ . То есть, правильный 8-угольник который занимает 14 позицию,

параллельным переносом переходит на 2 позицию и т.д. Фактически, правильный 8-угольник из репера  $R_j$  переходит в репер  $R_i$ . Вектором указанного перехода выступает  $\overrightarrow{O_j O_i} = -\overrightarrow{O_i O_j}$ . Обобщая вышесказанное:

$$\left\{ \begin{array}{l} R_{14} \rightarrow R_2, \overrightarrow{O_2 O_{14}} = (-6, 0) \\ R_{10} \rightarrow R_{14}, \overrightarrow{O_{14} O_{10}} = (2, 0) \\ R_6 \rightarrow R_{10}, \overrightarrow{O_{10} O_6} = (2, 0) \\ R_2 \rightarrow R_6, \overrightarrow{O_6 O_2} = (2, 0) \\ R_{11} \rightarrow R_3, \overrightarrow{O_3 O_{11}} = (-4, 0) \\ R_7 \rightarrow R_{15}, \overrightarrow{O_{15} O_7} = (4, 0) \\ R_3 \rightarrow R_{11}, \overrightarrow{O_{11} O_3} = (4, 0) \\ R_{15} \rightarrow R_7, \overrightarrow{O_7 O_{15}} = (-4, 0) \\ R_8 \rightarrow R_4, \overrightarrow{O_4 O_8} = (-2, 0) \\ R_4 \rightarrow R_{16}, \overrightarrow{O_{16} O_4} = (6, 0) \\ R_{16} \rightarrow R_{12}, \overrightarrow{O_{12} O_{16}} = (-2, 0) \\ R_{12} \rightarrow R_8, \overrightarrow{O_8 O_{12}} = (-2, 0) \end{array} \right.$$

Данная конфигурация выполняется во всех раундах 1-14.

### 1.2.14 InvPerBytes

Это преобразование обратно преобразованию PerBytes. Операция InvPerBytes осуществляет перестановку байт в матрице состояний. В контексте данного алгоритма рассматривается как поворот вокруг часовой стрелки *absolutely dynamic plafal* (абсолютно динамического плафала) –  $\text{PF}_{ad}^{uniq}$  вокруг центра симметрии на угол  $\varphi = \frac{360^\circ \cdot n}{16} = 22.5^\circ \cdot n$ ,  $n$  – количество поворотов. Согласно п.1.2.3 и п.1.2.5, раундовые операции InvPerBytes будем производить над правильным 16-угольником, образующий форму. Поворот, на данный угол, переводит правильный 16-угольник сам в себя. Множество углов поворотов:

$$M = \{22.5^\circ; 45^\circ; 67.5^\circ; 90^\circ; 112.5^\circ; 135^\circ; 157.5^\circ; 180^\circ; 202.5^\circ; 225^\circ; 247.5^\circ; 270^\circ; 292.5^\circ; 315^\circ; 337.5^\circ; 360^\circ\}$$

Очевидно, что  $M \cong Z_{16}$ ,  $Z_{16}$  – кольцо вычетов по модулю 16. Правильный 16-угольник –  $\text{PF}_{\text{Форма}}$ , в каждом из 13 раундов, имеет свое собственное количество поворотов, которое определяется формулой:

$$n = \begin{cases} n \equiv f(k) \pmod{16}, 16 \nmid f(k) \\ 1, 16 \mid f(k) \end{cases}$$

$f(k)$  – функция количества поворотов,  $f(k) = \frac{(\frac{1+\sqrt{5}}{2})^{15-k} - (\frac{1-\sqrt{5}}{2})^{15-k}}{\sqrt{5}}$ ,  $k$  – номер раунда.

Функция работы поворота  $\omega(t)_{\text{PF}_d^{\text{uniq}}}$  [4, с 590] (в контексте алгоритма: изменение координат вершин правильного 16-угольника в репере  $R_1$ ):

$$\begin{bmatrix} x' \\ y' \end{bmatrix} = \begin{bmatrix} \cos \varphi & \sin \varphi \\ -\sin \varphi & \cos \varphi \end{bmatrix} \cdot \begin{bmatrix} x \\ y \end{bmatrix} \quad (1.7)$$

$\begin{bmatrix} \cos \varphi & \sin \varphi \\ -\sin \varphi & \cos \varphi \end{bmatrix}$  – матрица поворота вокруг часовой стрелки;  $(x'; y')$  – координаты точки, полученные вращением точки  $(x; y)$ .

Таблица 1.33 – Вид матрицы поворота от количества поворотов  $n$

$n$	$\varphi$	$\begin{bmatrix} \cos \varphi & \sin \varphi \\ -\sin \varphi & \cos \varphi \end{bmatrix}$
1	$22.5^\circ$	$\begin{bmatrix} 0.92 & 0.38 \\ -0.38 & 0.92 \end{bmatrix}$
2	$45^\circ$	$\begin{bmatrix} \frac{\sqrt{2}}{2} & \frac{\sqrt{2}}{2} \\ -\frac{\sqrt{2}}{2} & \frac{\sqrt{2}}{2} \end{bmatrix}$
3	$67.5^\circ$	$\begin{bmatrix} 0.38 & 0.92 \\ -0.92 & 0.38 \end{bmatrix}$
4	$90^\circ$	$\begin{bmatrix} 0 & 1 \\ -1 & 0 \end{bmatrix}$
5	$112.5^\circ$	$\begin{bmatrix} -0.38 & 0.92 \\ -0.92 & -0.38 \end{bmatrix}$
6	$135^\circ$	$\begin{bmatrix} -\frac{\sqrt{2}}{2} & \frac{\sqrt{2}}{2} \\ -\frac{\sqrt{2}}{2} & -\frac{\sqrt{2}}{2} \end{bmatrix}$

7	$157.5^\circ$	$\begin{bmatrix} -0.92 & 0.38 \\ -0.38 & -0.92 \end{bmatrix}$
8	$180^\circ$	$\begin{bmatrix} -1 & 0 \\ 0 & -1 \end{bmatrix}$
9	$202.5^\circ$	$\begin{bmatrix} -0.92 & -0.38 \\ 0.38 & -0.92 \end{bmatrix}$
10	$225^\circ$	$\begin{bmatrix} -\frac{\sqrt{2}}{2} & -\frac{\sqrt{2}}{2} \\ \frac{\sqrt{2}}{2} & -\frac{\sqrt{2}}{2} \end{bmatrix}$
11	$247.5^\circ$	$\begin{bmatrix} -0.38 & -0.92 \\ 0.92 & -0.38 \end{bmatrix}$
12	$270^\circ$	$\begin{bmatrix} 0 & -1 \\ 1 & 0 \end{bmatrix}$
13	$292.5^\circ$	$\begin{bmatrix} 0.38 & -0.92 \\ 0.92 & 0.38 \end{bmatrix}$
14	$315^\circ$	$\begin{bmatrix} \frac{\sqrt{2}}{2} & -\frac{\sqrt{2}}{2} \\ \frac{\sqrt{2}}{2} & \frac{\sqrt{2}}{2} \end{bmatrix}$
15	$337.5^\circ$	$\begin{bmatrix} 0.92 & -0.38 \\ 0.38 & 0.92 \end{bmatrix}$

Раунды 2-14 выполняются в порядке 13-1 раундовой операции PerBytes. То есть, 2-ой раунд операции InvPerBytes – 13 раунд операции PerBytes и т.д.

### 1.3 Алгоритм выработки ключей (Key Schedule)

Раундовые ключи получаются из ключа шифрования посредством алгоритма выработки ключей. Он содержит два компонента: расширение ключа и выбор раундового ключа. Основополагающие принципы алгоритма выглядят следующим образом:

1. Общее число битов раундовых ключей равно длине блока, умноженной на число раундов, плюс 1. То есть,  $128 \cdot (14+1) = 1920$  бит = 240 байт. Размерность каждого из пятнадцати раундовых ключей – 16 байт.
2. Ключ шифрования расширяется в расширенный ключ.

3. Раундовые ключи берутся из расширенного ключа следующим образом: первый раундовый ключ содержит первые 16 байт, второй – следующие 16 байт и т.д.

### Процедура ExpandKey

- Первые шестнадцать байтов ключа шифрования остаются неизменными.

Ко вторым шестнадцати байтам ключа шифрования применяется процедура SubBytes (рис.1.12). Последующие байты расширенного ключа определяются следующим образом:

$$a_{32+i} = a_{31+i} \oplus a_i, i = \overline{1; 208}$$

Каждый последующий байт  $a_{32+i}$  получается посредством  $XOR$  предыдущего байта и байта, на 32 позиций ранее.

- К каждой из последовательностей:  $\{\overline{a_{33}; a_{48}}\}$ ;  $\{\overline{a_{49}; a_{64}}\}$ ;  $\{\overline{a_{65}; a_{80}}\}$ ;  $\{\overline{a_{81}; a_{96}}\}$ ;  $\{\overline{a_{97}; a_{112}}\}$ ;  $\{\overline{a_{113}; a_{128}}\}$ ;  $\{\overline{a_{129}; a_{144}}\}$ ;  $\{\overline{a_{145}; a_{160}}\}$ ;  $\{\overline{a_{161}; a_{176}}\}$ ;  $\{\overline{a_{177}; a_{192}}\}$ ;  $\{\overline{a_{193}; a_{208}}\}$ ;  $\{\overline{a_{209}; a_{224}}\}$ ;  $\{\overline{a_{225}; a_{240}}\}$  применяются однократно процедуры SubBytes, PerBits, ShiftByte. Раунды (1-13) процедуры PerBits применяются в порядке указанных последовательностей. То есть, к последовательности  $\{\overline{a_{33}; a_{48}}\}$  применяется 1-ый раунд PerBits (п.1.2.8), к последовательности  $\{\overline{a_{49}; a_{64}}\}$  применяется 2-ой раунд PerBits и т.д. Полученные, таким образом, матрицы состояний (п.1.2.4) и являются, соответственно, раундовыми ключами 3-15.

### Процедура AddRoundKey

В данной операции матрица состояний раундового ключа добавляется к матрице состояний блока посредством простого поразрядного  $XOR$  (используя правила сложения квадратных матриц). Для процедуры зашифрования, к матрице открытого текста добавляются первые шестнадцать байтов ключа шифрования и т.д. Для процедуры расшифрования, раундовые ключи используются в обратном порядке.

## 1.4 Имитовставка

Для обеспечения имитозащиты открытых данных, состоящих из  $M$  количества 128-разрядных блоков  $T_o^{(1)}, T_o^{(2)}, \dots, T_o^{(M)}$  где  $M > 2$ , вырабатывается дополнительный блок  $T_o^{(0)}$ .

нительный блок из 64 бит (имитовставка  $I_1$ ). Процесс выработки имитовставки осуществляется в режиме шифрования CBC. Количество раундов зашифрования для каждого блока – 7. Из полученного конечного значения выбирается отрезок  $I_1$  (имитовставка) длиной 64 бита. Поступившие зашифрованные данные расшифровываются, из полученных блоков открытых данных, аналогично описанному выше, вырабатывается имитовставка  $I_2$ , которая затем сравнивается с имитовставкой  $I_1$  полученной вместе с зашифрованными данными. В случае несовпадения имитовставок полученные данные считаются ложными. Выработка имитовставки может производится или перед зашифрованием (после расшифрования) всего сообщения, или параллельно с зашифрованием (расшифрованием) по блокам. Первые блоки открытых данных, которые участвуют в выработке имитовставки, могут содержать служебную информацию (адресную часть, отметку времени, синхропосылку и т.д.) и не зашифровываются. Вероятность навязывания ложных данных равна  $2^{-64}$ .

## 1.5 Механизм распределения ключей

В авторизованной системе из  $n$  пользователей, механизм распределения ключей выглядит следующим образом – рис.1.18:

- В системе существует следующая иерархия ключей:
- Мастер ключ  $K_{Master}$ . Учитывая главенствующую роль в иерархии мастер-ключа, используемого в течении длительного времени, его защите уделяется особое внимание: 1. Мастер-ключ хранится в защищенном от считывания, записи и разрушающих воздействий модуле системы защиты. 2. Мастер-ключ распространяется неэлектронным способом, исключающим его компрометацию. 3. В системе существует способ проверки аутентичности мастер-ключа – рис.1.17.

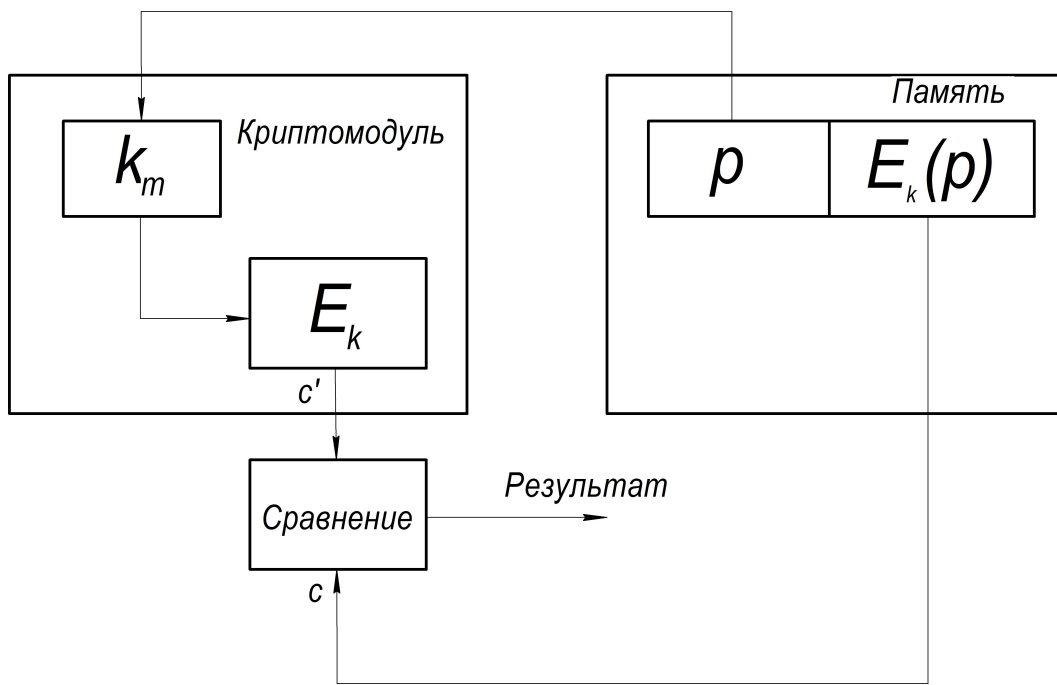


Рисунок 1.17 – Схема аутентификации мастер-ключа

- $K_1, K_2$  – Долговременные ключи шифрования данных и ключей.

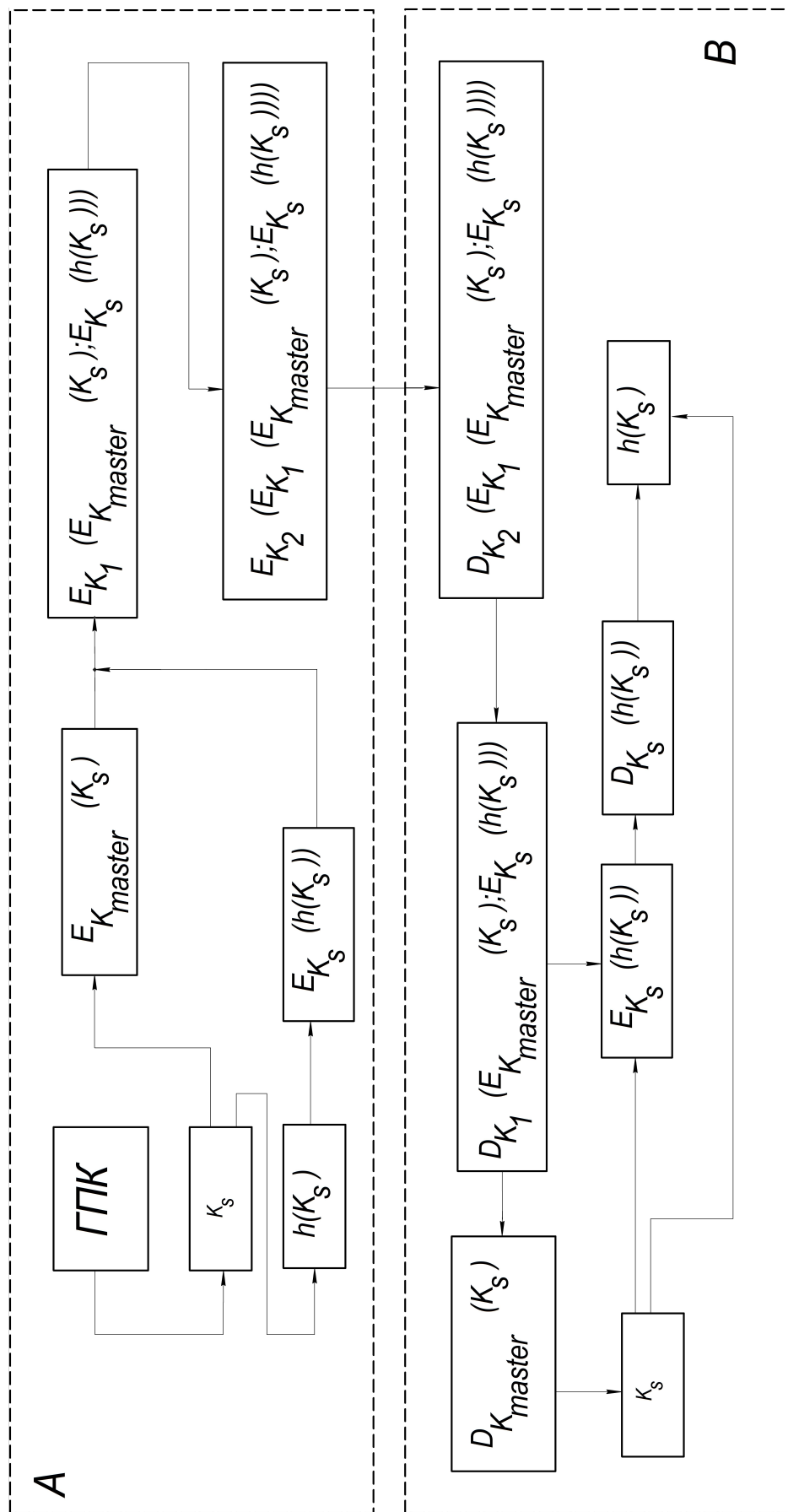


Рисунок 1.18 – Механизм распределения ключей

Отправитель  $A$ , снимает с ГПК двоичную 256-разрядную последовательность (ключ распределения –  $K_S$ ), находит хеш данного ключа –  $h(K_S)$ , зашифровывает  $E_{K_S}(h(K_S))$ : хеш  $h(K_S)$  на ключе  $K_S$ , зашифровывает  $E_{K_{Master}}(K_S)$ : ключ  $K_S$  на ключе  $K_{Master}$ ; зашифровывает  $E_{K_1}(E_{K_{Master}}(K_S); E_{K_S}(h(K_S)))$  на ключе  $K_1$ ; зашифровывает  $E_{K_2}(E_{K_1}(E_{K_{Master}}(K_S); E_{K_S}(h(K_S))))$  на ключе  $K_2$ .

Получатель  $B$ , получает  $E_{K_2}(E_{K_1}(E_{K_{Master}}(K_S); E_{K_S}(h(K_S))))$  и расшифровывает ее –  $D_{K_2}(E_{K_1}(E_{K_{Master}}(K_S); E_{K_S}(h(K_S))))$  на ключе  $K_2$ ; расшифровывает –  $D_{K_1}(E_{K_{Master}}(K_S); E_{K_S}(h(K_S)))$  на ключе  $K_1$ , в результате получаются зашифрованные последовательности  $E_{K_S}(h(K_S))$  и  $E_{K_{Master}}(K_S)$ . В дальнейшем, получатель расшифровывает –  $D_{K_{Master}}(K_S)$  на ключе  $K_{Master}$  и получает ключ распределения –  $K_S$ ; расшифровывает –  $D_{K_S}(h(K_S))$  на ключе  $K_S$ , в результате получает хеш  $h(K_S)$  и сравнивает его с хешем, полученным на ключе  $K_S$ .

## ЛИТЕРАТУРА

1. Брассар Ж. Современная криптология: Пер. с англ. М.: ПОЛИМЕД, 1999.
2. Topchyi D. The theory of plafales: the proof of P versus NP problem / D. Topchyi. - Best Global Publishing, 2011. - 634 p.
3. Topchyi D. The theory of plafales: the proof algorithms for millennium problems / D. Topchyi. - Best Global Publishing, 2013. - 695 p.
4. Topchyi D. The theory of plafales: the proof algorithms for millennium problems / D. Topchyi. - Best Global Publishing, 2013. - 695 p. - Режим доступа к ресурсу: <http://eleanor-cms.ru/uploads/book.pdf>
5. Topchyi D. The theory of plafales: Applications of new cryptographic algorithms and platforms in Military complex, IT, Banking system, Financial market / D. Topchyi. - XLII KONFERENCJA ZASTOSOWAN MATEMATYKI, 2013. - Режим доступа к ресурсу: <http://www.impan.pl/zakopane/42/Topchyi.pdf>
6. XLII KONFERENCJA ZASTOSOWAN MATEMATYKI, 2013. - Режим доступа к ресурсу: <http://www.impan.pl/KZM/42/>
7. Осмоловский С. А. Стохастические методы передачи данных. М.: Радио и связь, 1991.